Ein und Ausgabe:
Farbmetrisches Drucker-Reflektiv-System ORS19_96a
Daten für jede Farbe:
*lab*tch** und *lab*icu**
Elementar-Bunttontext:
u^* = 16 Bunttöne *r00j, r25j, ..., b75r*
Kontrastreduzierungsfaktor:
$c_R = 1.0$

ORS19_96a; adaptierte CIELAB-Daten

	$L^*=L^*_a$	a^*_a	b^*_a	$C^*_{ab,a}$	$h^*_{ab,a}$
r00j	48.88	66.47	31.67	73.63	25
r25j	55.85	52.39	47.48	70.7	42
r50j	65.45	35.22	58.37	68.17	59
r75j	75.19	17.82	69.41	71.66	76
j00g	87.03	−3.34	82.83	82.9	92
j25g	80.72	−25.0	69.5	73.86	110
j50g	70.64	−39.53	51.97	65.3	127
j75g	61.93	−52.09	36.83	63.8	145
g00b	52.8	−65.27	20.93	68.56	162
g25b	55.7	−49.57	−8.38	50.28	190
g50b	57.82	−38.39	−28.91	48.07	217
g75b	55.5	−22.04	−45.94	50.97	244
b00r	41.6	1.37	−45.0	45.03	272
b25r	29.0	25.08	−43.12	49.89	300
b50r	38.04	46.53	−28.38	54.51	329
b75r	49.48	72.88	−3.75	72.98	357

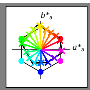

%Umfang
$u^*_{rel} = 89$
%Regularität
$g^*_{H,rel} = 72$
$g^*_{C,rel} = 57$

ORS19_96a; adaptierte CIELAB-Daten

	$L^*=L^*_a$	a^*_a	b^*_a	$C^*_{ab,a}$	$h^*_{ab,a}$
O_{Ma}	48.75	65.07	39.43	76.08	31
Y_{Ma}	90.92	−10.28	87.24	87.85	97
L_{Ma}	52.69	−65.43	20.75	68.65	162
C_{Ma}	59.61	−28.97	−46.21	54.56	238
V_{Ma}	28.39	23.63	−44.12	50.06	298
M_{Ma}	49.58	73.93	−9.55	74.55	353
N_{Ma}	18.89	0.0	0.0	0.0	0
W_{Ma}	96.9	0.0	0.0	0.0	0
R_{CIE}	39.92	58.74	27.99	65.07	25
J_{CIE}	81.26	−2.88	71.56	71.62	92
G_{CIE}	52.23	−42.41	13.6	44.55	162
B_{CIE}	30.57	1.41	−46.46	46.49	272

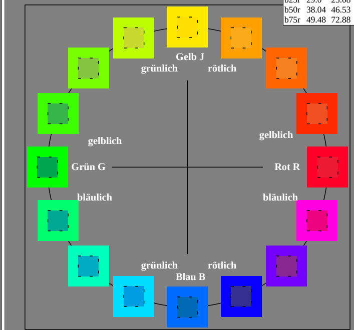

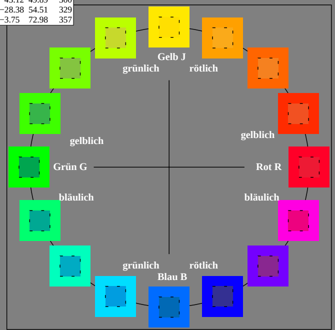

Ein und Ausgabe: Farbmetrisches Drucker-Reflektiv-System ORS19_96a für relativen CIELAB-Buntton $h^* = lab^*h^* = h_{ab}/360 = 25/360 = 0.071$ $u^* = r00j$
Daten für jede Farbe:
*lab*tch** und *lab*icu**
Elementar-Bunttontext:
$u^* = r00j$
Kontrastreduzierungsfaktor:
$c_R = 1.0$
Dreiecks-Helligkeit t^*

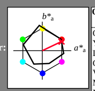

ORS19_96a; adaptierte CIELAB-Daten

	$L^*=L^*_a$	a^*_a	b^*_a	$C^*_{ab,a}$	$h^*_{ab,a}$
O_{Ma}	48.75	65.07	39.43	76.08	31
Y_{Ma}	90.92	−10.28	87.24	87.85	97
L_{Ma}	52.69	−65.43	20.75	68.65	162
C_{Ma}	59.61	−28.97	−46.21	54.56	238
V_{Ma}	28.39	23.63	−44.12	50.06	298
M_{Ma}	49.58	73.93	−9.55	74.55	353
N_{Ma}	18.89	0.0	0.0	0.0	0
W_{Ma}	96.9	0.0	0.0	0.0	0
R_{CIE}	39.92	58.74	27.99	65.07	25
J_{CIE}	81.26	−2.88	71.56	71.62	92
G_{CIE}	52.23	−42.41	13.6	44.55	162
B_{CIE}	30.57	1.41	−46.46	46.49	272

Daten für Maximalfarbe (Ma):
$LAB^*LAB^*_{Ma}$: 49 66 32
$LAB^*LCH^*_{Ma}$: 49 74 25
$lab^*rgb^*_{Ma}$: 1.0 0.0 0.0
$lab^*olv^*_{Ma}$: 1.0 0.0 0.16
Dreiecks-Helligkeit t^*
%Umfang
$u^*_{rel} = 89$
%Regularität
$g^*_{H,rel} = 72$
$g^*_{C,rel} = 57$

ORS19_96a; adaptierte CIELAB-Daten

	$L^*=L^*_a$	a^*_a	b^*_a	$C^*_{ab,a}$	$h^*_{ab,a}$
r00j	48.88	66.47	31.67	73.63	25
r25j	55.85	52.39	47.48	70.7	42
r50j	65.45	35.22	58.37	68.17	59
r75j	75.19	17.82	69.41	71.66	76
j00g	87.03	−3.34	82.83	82.9	92
j25g	80.72	−25.0	69.5	73.86	110
j50g	70.64	−39.53	51.97	65.3	127
j75g	61.93	−52.09	36.83	63.8	145
g00b	52.8	−65.27	20.93	68.56	162
g25b	55.7	−49.57	−8.38	50.28	190
g50b	57.82	−38.39	−28.91	48.07	217
g75b	55.5	−22.04	−45.94	50.97	244
b00r	41.6	1.37	−45.0	45.03	272
b25r	29.0	25.08	−43.12	49.89	300
b50r	38.04	46.53	−28.38	54.51	329
b75r	49.48	72.88	−3.75	72.98	357

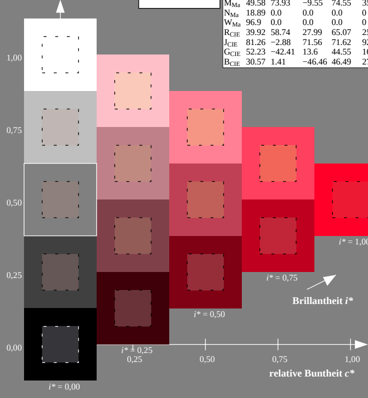

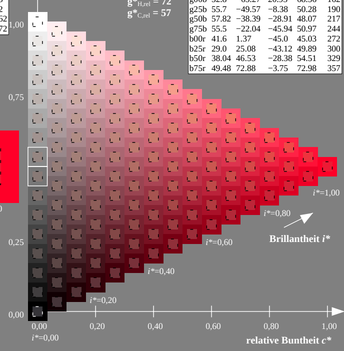

Ein und Ausgabe: Farbmetrisches Drucker-Reflektiv-System ORS19_96a für relativen CIELAB-Buntton $h^* = lab^*h^* = h_{ab}/360 = 42/360 = 0.117$ $u^* = r25j$
Daten für jede Farbe:
*lab*tch** und *lab*icu**
Elementar-Bunttontext:
$u^* = r25j$
Kontrastreduzierungsfaktor:
$c_R = 1.0$
Dreiecks-Helligkeit t^*

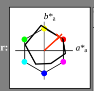

ORS19_96a; adaptierte CIELAB-Daten

	$L^*=L^*_a$	a^*_a	b^*_a	$C^*_{ab,a}$	$h^*_{ab,a}$
O_{Ma}	48.75	65.07	39.43	76.08	31
Y_{Ma}	90.92	−10.28	87.24	87.85	97
L_{Ma}	52.69	−65.43	20.75	68.65	162
C_{Ma}	59.61	−28.97	−46.21	54.56	238
V_{Ma}	28.39	23.63	−44.12	50.06	298
M_{Ma}	49.58	73.93	−9.55	74.55	353
N_{Ma}	18.89	0.0	0.0	0.0	0
W_{Ma}	96.9	0.0	0.0	0.0	0
R_{CIE}	39.92	58.74	27.99	65.07	25
J_{CIE}	81.26	−2.88	71.56	71.62	92
G_{CIE}	52.23	−42.41	13.6	44.55	162
B_{CIE}	30.57	1.41	−46.46	46.49	272

Daten für Maximalfarbe (Ma):
$LAB^*LAB^*_{Ma}$: 56 52 47
$LAB^*LCH^*_{Ma}$: 56 71 42
$lab^*rgb^*_{Ma}$: 1.0 0.25 0.0
$lab^*olv^*_{Ma}$: 1.0 0.17 0.0
Dreiecks-Helligkeit t^*
%Umfang
$u^*_{rel} = 89$
%Regularität
$g^*_{H,rel} = 72$
$g^*_{C,rel} = 57$

ORS19_96a; adaptierte CIELAB-Daten

	$L^*=L^*_a$	a^*_a	b^*_a	$C^*_{ab,a}$	$h^*_{ab,a}$
r00j	48.88	66.47	31.67	73.63	25
r25j	55.85	52.39	47.48	70.7	42
r50j	65.45	35.22	58.37	68.17	59
r75j	75.19	17.82	69.41	71.66	76
j00g	87.03	−3.34	82.83	82.9	92
j25g	80.72	−25.0	69.5	73.86	110
j50g	70.64	−39.53	51.97	65.3	127
j75g	61.93	−52.09	36.83	63.8	145
g00b	52.8	−65.27	20.93	68.56	162
g25b	55.7	−49.57	−8.38	50.28	190
g50b	57.82	−38.39	−28.91	48.07	217
g75b	55.5	−22.04	−45.94	50.97	244
b00r	41.6	1.37	−45.0	45.03	272
b25r	29.0	25.08	−43.12	49.89	300
b50r	38.04	46.53	−28.38	54.51	329
b75r	49.48	72.88	−3.75	72.98	357

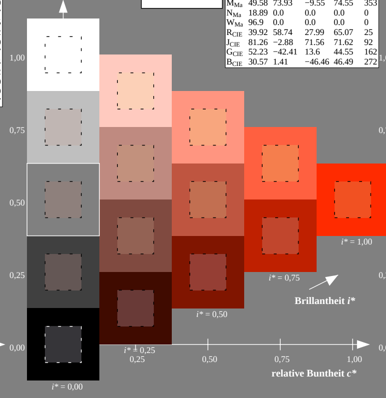

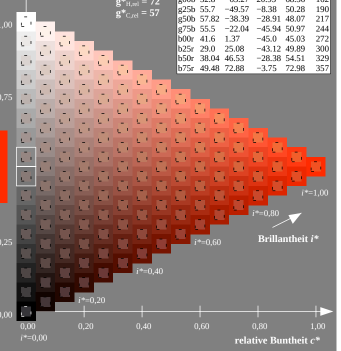

Ein und Ausgabe: Farbmetrisches Drucker-Reflektiv-System ORS19_96a für relativen CIELAB-Buntton $h^* = lab^*h^* = h_{ab}/360 = 59/360 = 0.164$ $u^* = r50j$
Daten für jede Farbe:
*lab*tch** und *lab*icu**
Elementar-Bunttontext:
$u^* = r50j$
Kontrastreduzierungsfaktor:
$c_R = 1.0$
Dreiecks-Helligkeit t^*

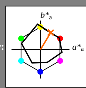

ORS19_96a; adaptierte CIELAB-Daten

	$L^*=L^*_a$	a^*_a	b^*_a	$C^*_{ab,a}$	$h^*_{ab,a}$
O_{Ma}	48.75	65.07	39.43	76.08	31
Y_{Ma}	90.92	−10.28	87.24	87.85	97
L_{Ma}	52.69	−65.43	20.75	68.65	162
C_{Ma}	59.61	−28.97	−46.21	54.56	238
V_{Ma}	28.39	23.63	−44.12	50.06	298
M_{Ma}	49.58	73.93	−9.55	74.55	353
N_{Ma}	18.89	0.0	0.0	0.0	0
W_{Ma}	96.9	0.0	0.0	0.0	0
R_{CIE}	39.92	58.74	27.99	65.07	25
J_{CIE}	81.26	−2.88	71.56	71.62	92
G_{CIE}	52.23	−42.41	13.6	44.55	162
B_{CIE}	30.57	1.41	−46.46	46.49	272

Daten für Maximalfarbe (Ma):
$LAB^*LAB^*_{Ma}$: 65 35 58
$LAB^*LCH^*_{Ma}$: 65 68 59
$lab^*rgb^*_{Ma}$: 1.0 0.5 0.0
$lab^*olv^*_{Ma}$: 1.0 0.4 0.0
Dreiecks-Helligkeit t^*
%Umfang
$u^*_{rel} = 89$
%Regularität
$g^*_{H,rel} = 72$
$g^*_{C,rel} = 57$

ORS19_96a; adaptierte CIELAB-Daten

	$L^*=L^*_a$	a^*_a	b^*_a	$C^*_{ab,a}$	$h^*_{ab,a}$
r00j	48.88	66.47	31.67	73.63	25
r25j	55.85	52.39	47.48	70.7	42
r50j	65.45	35.22	58.37	68.17	59
r75j	75.19	17.82	69.41	71.66	76
j00g	87.03	−3.34	82.83	82.9	92
j25g	80.72	−25.0	69.5	73.86	110
j50g	70.64	−39.53	51.97	65.3	127
j75g	61.93	−52.09	36.83	63.8	145
g00b	52.8	−65.27	20.93	68.56	162
g25b	55.7	−49.57	−8.38	50.28	190
g50b	57.82	−38.39	−28.91	48.07	217
g75b	55.5	−22.04	−45.94	50.97	244
b00r	41.6	1.37	−45.0	45.03	272
b25r	29.0	25.08	−43.12	49.89	300
b50r	38.04	46.53	−28.38	54.51	329
b75r	49.48	72.88	−3.75	72.98	357

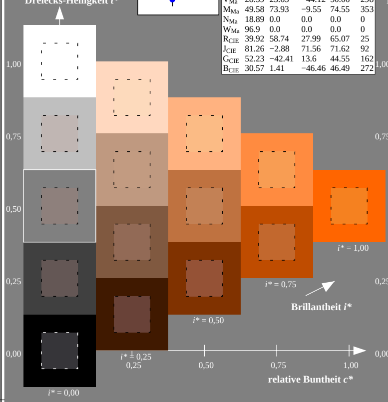

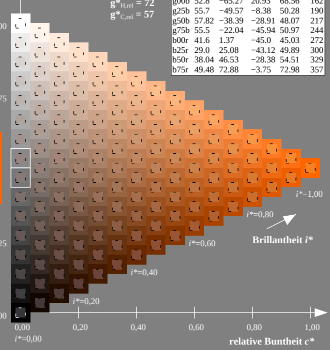

Ein und Ausgabe: Farbmetrisches Drucker-Reflektiv-System ORS19_96a für relativen CIELAB-Buntton $h^* = lab^*h^* = h_{ab}/360 = 76/360 = 0.21$ $u^* = r75j$
Daten für jede Farbe:
*lab*tch** und *lab*icu**
Elementar-Bunttontext:
$u^* = r75j$
Kontrastreduzierungsfaktor:
$c_R = 1.0$
Dreiecks-Helligkeit t^*

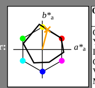

ORS19_96a; adaptierte CIELAB-Daten

	$L^*=L^*_a$	a^*_a	b^*_a	$C^*_{ab,a}$	$h^*_{ab,a}$
O_{Ma}	48.75	65.07	39.43	76.08	31
Y_{Ma}	90.92	−10.28	87.24	87.85	97
L_{Ma}	52.69	−65.43	20.75	68.65	162
C_{Ma}	59.61	−28.97	−46.21	54.56	238
V_{Ma}	28.39	23.63	−44.12	50.06	298
M_{Ma}	49.58	73.93	−9.55	74.55	353
N_{Ma}	18.89	0.0	0.0	0.0	0
W_{Ma}	96.9	0.0	0.0	0.0	0
R_{CIE}	39.92	58.74	27.99	65.07	25
J_{CIE}	81.26	−2.88	71.56	71.62	92
G_{CIE}	52.23	−42.41	13.6	44.55	162
B_{CIE}	30.57	1.41	−46.46	46.49	272

Daten für Maximalfarbe (Ma):
$LAB^*LAB^*_{Ma}$: 75 18 69
$LAB^*LCH^*_{Ma}$: 75 72 76
$lab^*rgb^*_{Ma}$: 1.0 0.75 0.0
$lab^*olv^*_{Ma}$: 1.0 0.63 0.0
Dreiecks-Helligkeit t^*
%Umfang
$u^*_{rel} = 89$
%Regularität
$g^*_{H,rel} = 72$
$g^*_{C,rel} = 57$

ORS19_96a; adaptierte CIELAB-Daten

	$L^*=L^*_a$	a^*_a	b^*_a	$C^*_{ab,a}$	$h^*_{ab,a}$
r00j	48.88	66.47	31.67	73.63	25
r25j	55.85	52.39	47.48	70.7	42
r50j	65.45	35.22	58.37	68.17	59
r75j	75.19	17.82	69.41	71.66	76
j00g	87.03	−3.34	82.83	82.9	92
j25g	80.72	−25.0	69.5	73.86	110
j50g	70.64	−39.53	51.97	65.3	127
j75g	61.93	−52.09	36.83	63.8	145
g00b	52.8	−65.27	20.93	68.56	162
g25b	55.7	−49.57	−8.38	50.28	190
g50b	57.82	−38.39	−28.91	48.07	217
g75b	55.5	−22.04	−45.94	50.97	244
b00r	41.6	1.37	−45.0	45.03	272
b25r	29.0	25.08	−43.12	49.89	300
b50r	38.04	46.53	−28.38	54.51	329
b75r	49.48	72.88	−3.75	72.98	357

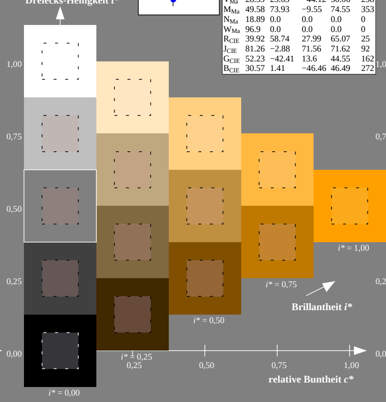

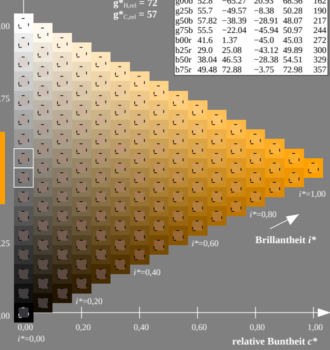

Ein und Ausgabe: Farbmetrisches Drucker-Reflektiv-System ORS19_96a für relativen CIELAB-Buntton $h^* = lab^*h^* = h_{ab}/360 = 92/360 = 0.256$ $u^* = j00g$
Daten für jede Farbe:
*lab*tch** und *lab*icu**
Elementar-Bunttontext:
$u^* = j00g$
Kontrastreduzierungsfaktor:
$c_R = 1.0$
Dreiecks-Helligkeit t^*

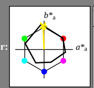

ORS19_96a; adaptierte CIELAB-Daten

	$L^*=L^*_a$	a^*_a	b^*_a	$C^*_{ab,a}$	$h^*_{ab,a}$
O_{Ma}	48.75	65.07	39.43	76.08	31
Y_{Ma}	90.92	−10.28	87.24	87.85	97
L_{Ma}	52.69	−65.43	20.75	68.65	162
C_{Ma}	59.61	−28.97	−46.21	54.56	238
V_{Ma}	28.39	23.63	−44.12	50.06	298
M_{Ma}	49.58	73.93	−9.55	74.55	353
N_{Ma}	18.89	0.0	0.0	0.0	0
W_{Ma}	96.9	0.0	0.0	0.0	0
R_{CIE}	39.92	58.74	27.99	65.07	25
J_{CIE}	81.26	−2.88	71.56	71.62	92
G_{CIE}	52.23	−42.41	13.6	44.55	162
B_{CIE}	30.57	1.41	−46.46	46.49	272

Daten für Maximalfarbe (Ma):
$LAB^*LAB^*_{Ma}$: 87 −2 83
$LAB^*LCH^*_{Ma}$: 87 83 92
$lab^*rgb^*_{Ma}$: 1.0 1.0 0.0
$lab^*olv^*_{Ma}$: 1.0 0.91 0.0
Dreiecks-Helligkeit t^*
%Umfang
$u^*_{rel} = 89$
%Regularität
$g^*_{H,rel} = 72$
$g^*_{C,rel} = 57$

ORS19_96a; adaptierte CIELAB-Daten

	$L^*=L^*_a$	a^*_a	b^*_a	$C^*_{ab,a}$	$h^*_{ab,a}$
r00j	48.88	66.47	31.67	73.63	25
r25j	55.85	52.39	47.48	70.7	42
r50j	65.45	35.22	58.37	68.17	59
r75j	75.19	17.82	69.41	71.66	76
j00g	87.03	−3.34	82.83	82.9	92
j25g	80.72	−25.0	69.5	73.86	110
j50g	70.64	−39.53	51.97	65.3	127
j75g	61.93	−52.09	36.83	63.8	145
g00b	52.8	−65.27	20.93	68.56	162
g25b	55.7	−49.57	−8.38	50.28	190
g50b	57.82	−38.39	−28.91	48.07	217
g75b	55.5	−22.04	−45.94	50.97	244
b00r	41.6	1.37	−45.0	45.03	272
b25r	29.0	25.08	−43.12	49.89	300
b50r	38.04	46.53	−28.38	54.51	329
b75r	49.48	72.88	−3.75	72.98	357

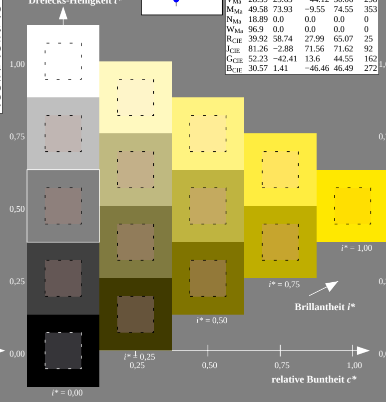

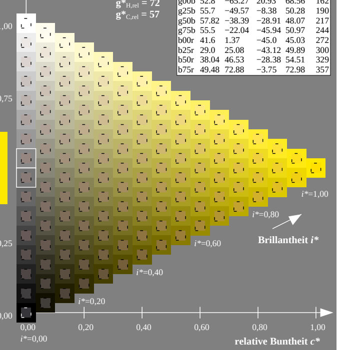

Ein und Ausgabe: Farbmetrisches Drucker-Reflektiv-System ORS19_96a für relativen CIELAB-Buntton $h^* = lab^*h^* = h_{ab}/360 = 110/360 = 0.305$ $u^* = j25g$
Daten für jede Farbe:
*lab*tch** und *lab*icu**
Elementar-Bunttontext:
$u^* = j25g$
Kontrastreduzierungsfaktor:
$c_R = 1.0$
Dreiecks-Helligkeit t^*

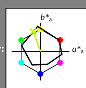

ORS19_96a; adaptierte CIELAB-Daten

	$L^*=L^*_a$	a^*_a	b^*_a	$C^*_{ab,a}$	$h^*_{ab,a}$
O_{Ma}	48.75	65.07	39.43	76.08	31
Y_{Ma}	90.92	−10.28	87.24	87.85	97
L_{Ma}	52.69	−65.43	20.75	68.65	162
C_{Ma}	59.61	−28.97	−46.21	54.56	238
V_{Ma}	28.39	23.63	−44.12	50.06	298
M_{Ma}	49.58	73.93	−9.55	74.55	353
N_{Ma}	18.89	0.0	0.0	0.0	0
W_{Ma}	96.9	0.0	0.0	0.0	0
R_{CIE}	39.92	58.74	27.99	65.07	25
J_{CIE}	81.26	−2.88	71.56	71.62	92
G_{CIE}	52.23	−42.41	13.6	44.55	162
B_{CIE}	30.57	1.41	−46.46	46.49	272

Daten für Maximalfarbe (Ma):
$LAB^*LAB^*_{Ma}$: 81 −24 69
$LAB^*LCH^*_{Ma}$: 81 74 110
$lab^*rgb^*_{Ma}$: 0.75 1.0 0.0
$lab^*olv^*_{Ma}$: 0.73 1.0 0.0
Dreiecks-Helligkeit t^*
%Umfang
$u^*_{rel} = 89$
%Regularität
$g^*_{H,rel} = 72$
$g^*_{C,rel} = 57$

ORS19_96a; adaptierte CIELAB-Daten

	$L^*=L^*_a$	a^*_a	b^*_a	$C^*_{ab,a}$	$h^*_{ab,a}$
r00j	48.88	66.47	31.67	73.63	25
r25j	55.85	52.39	47.48	70.7	42
r50j	65.45	35.22	58.37	68.17	59
r75j	75.19	17.82	69.41	71.66	76
j00g	87.03	−3.34	82.83	82.9	92
j25g	80.72	−25.0	69.5	73.86	110
j50g	70.64	−39.53	51.97	65.3	127
j75g	61.93	−52.09	36.83	63.8	145
g00b	52.8	−65.27	20.93	68.56	162
g25b	55.7	−49.57	−8.38	50.28	190
g50b	57.82	−38.39	−28.91	48.07	217
g75b	55.5	−22.04	−45.94	50.97	244
b00r	41.6	1.37	−45.0	45.03	272
b25r	29.0	25.08	−43.12	49.89	300
b50r	38.04	46.53	−28.38	54.51	329
b75r	49.48	72.88	−3.75	72.98	357

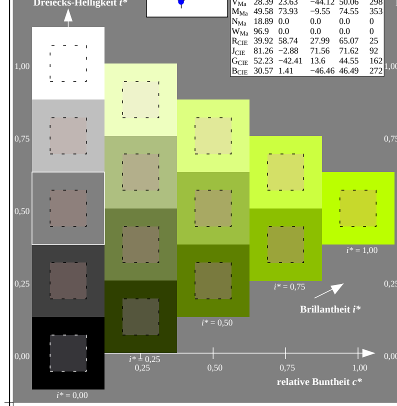

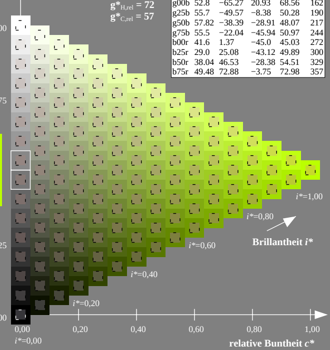

Ein und Ausgabe: Farbmetrisches Drucker-Reflektiv-System ORS19_96a für relativen CIELAB-Buntton $h^* = lab^*h^* = h_{ab}/360 = 127/360 = 0.354$ $u^* = j50g$
Daten für jede Farbe:
*lab*tch** und *lab*icu**
Elementar-Bunttontext:
$u^* = j50g$
Kontrastreduzierungsfaktor:
$c_R = 1.0$
Dreiecks-Helligkeit t^*

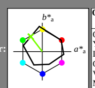

ORS19_96a; adaptierte CIELAB-Daten

	$L^*=L^*_a$	a^*_a	b^*_a	$C^*_{ab,a}$	$h^*_{ab,a}$
O_{Ma}	48.75	65.07	39.43	76.08	31
Y_{Ma}	90.92	−10.28	87.24	87.85	97
L_{Ma}	52.69	−65.43	20.75	68.65	162
C_{Ma}	59.61	−28.97	−46.21	54.56	238
V_{Ma}	28.39	23.63	−44.12	50.06	298
M_{Ma}	49.58	73.93	−9.55	74.55	353
N_{Ma}	18.89	0.0	0.0	0.0	0
W_{Ma}	96.9	0.0	0.0	0.0	0
R_{CIE}	39.92	58.74	27.99	65.07	25
J_{CIE}	81.26	−2.88	71.56	71.62	92
G_{CIE}	52.23	−42.41	13.6	44.55	162
B_{CIE}	30.57	1.41	−46.46	46.49	272

Daten für Maximalfarbe (Ma):
$LAB^*LAB^*_{Ma}$: 71 −39 52
$LAB^*LCH^*_{Ma}$: 71 65 127
$lab^*rgb^*_{Ma}$: 0.5 1.0 0.0
$lab^*olv^*_{Ma}$: 0.47 1.0 0.0
Dreiecks-Helligkeit t^*
%Umfang
$u^*_{rel} = 89$
%Regularität
$g^*_{H,rel} = 72$
$g^*_{C,rel} = 57$

ORS19_96a; adaptierte CIELAB-Daten

	$L^*=L^*_a$	a^*_a	b^*_a	$C^*_{ab,a}$	$h^*_{ab,a}$
r00j	48.88	66.47	31.67	73.63	25
r25j	55.85	52.39	47.48	70.7	42
r50j	65.45	35.22	58.37	68.17	59
r75j	75.19	17.82	69.41	71.66	76
j00g	87.03	−3.34	82.83	82.9	92
j25g	80.72	−25.0	69.5	73.86	110
j50g	70.64	−39.53	51.97	65.3	127
j75g	61.93	−52.09	36.83	63.8	145
g00b	52.8	−65.27	20.93	68.56	162
g25b	55.7	−49.57	−8.38	50.28	190
g50b	57.82	−38.39	−28.91	48.07	217
g75b	55.5	−22.04	−45.94	50.97	244
b00r	41.6	1.37	−45.0	45.03	272
b25r	29.0	25.08	−43.12	49.89	300
b50r	38.04	46.53	−28.38	54.51	329
b75r	49.48	72.88	−3.75	72.98	357

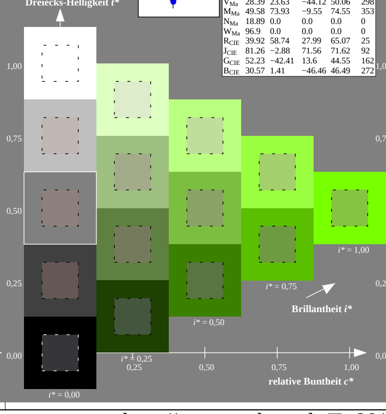

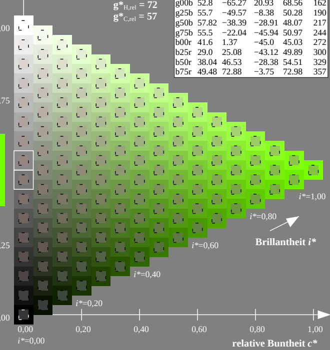

Ein und Ausgabe: Farbmetrisches Drucker-Reflektiv-System ORS19_96a für relativen CIELAB-Buntton $h^* = lab^*h^* = h_{ab}/360 = 145/360 = 0.402$ $u^* = j75g$
Daten für jede Farbe:
*lab*tch** und *lab*icu**
Elementar-Bunttontext:
$u^* = j75g$
Kontrastreduzierungsfaktor:
$c_R = 1.0$
Dreiecks-Helligkeit t^*

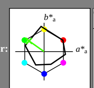

ORS19_96a; adaptierte CIELAB-Daten

	$L^*=L^*_a$	a^*_a	b^*_a	$C^*_{ab,a}$	$h^*_{ab,a}$
O_{Ma}	48.75	65.07	39.43	76.08	31
Y_{Ma}	90.92	−10.28	87.24	87.85	97
L_{Ma}	52.69	−65.43	20.75	68.65	162
C_{Ma}	59.61	−28.97	−46.21	54.56	238
V_{Ma}	28.39	23.63	−44.12	50.06	298
M_{Ma}	49.58	73.93	−9.55	74.55	353
N_{Ma}	18.89	0.0	0.0	0.0	0
W_{Ma}	96.9	0.0	0.0	0.0	0
R_{CIE}	39.92	58.74	27.99	65.07	25
J_{CIE}	81.26	−2.88	71.56	71.62	92
G_{CIE}	52.23	−42.41	13.6	44.55	162
B_{CIE}	30.57	1.41	−46.46	46.49	272

Daten für Maximalfarbe (Ma):
$LAB^*LAB^*_{Ma}$: 62 −51 37
$LAB^*LCH^*_{Ma}$: 62 64 145
$lab^*rgb^*_{Ma}$: 0.25 1.0 0.0
$lab^*olv^*_{Ma}$: 0.24 1.0 0.0
Dreiecks-Helligkeit t^*
%Umfang
$u^*_{rel} = 89$
%Regularität
$g^*_{H,rel} = 72$
$g^*_{C,rel} = 57$

ORS19_96a; adaptierte CIELAB-Daten

	$L^*=L^*_a$	a^*_a	b^*_a	$C^*_{ab,a}$	$h^*_{ab,a}$
r00j	48.88	66.47	31.67	73.63	25
r25j	55.85	52.39	47.48	70.7	42
r50j	65.45	35.22	58.37	68.17	59
r75j	75.19	17.82	69.41	71.66	76
j00g	87.03	−3.34	82.83	82.9	92
j25g	80.72	−25.0	69.5	73.86	110
j50g	70.64	−39.53	51.97	65.3	127
j75g	61.93	−52.09	36.83	63.8	145
g00b	52.8	−65.27	20.93	68.56	162
g25b	55.7	−49.57	−8.38	50.28	190
g50b	57.82	−38.39	−28.91	48.07	217
g75b	55.5	−22.04	−45.94	50.97	244
b00r	41.6	1.37	−45.0	45.03	272
b25r	29.0	25.08	−43.12	49.89	300
b50r	38.04	46.53	−28.38	54.51	329
b75r	49.48	72.88	−3.75	72.98	357

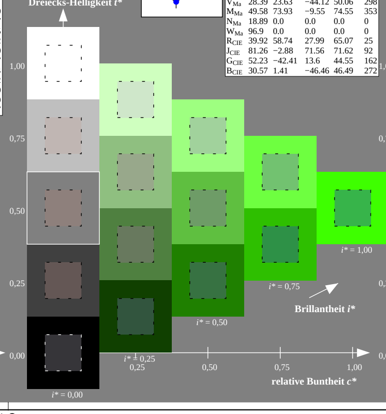

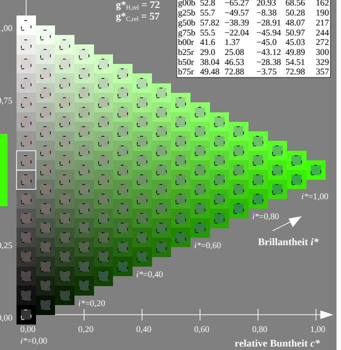

Ein und Ausgabe:
Farbmetrisches Drucker-Reflektiv-System ORS19_96a
Daten für jede Farbe:
*lab*tch** und *lab*icu**
Elementar-Bunttontext:
$u^* = 16$ Buntẗone *r00j, r25j, ..., b75r*
Kontrastreduzierungsfaktor:
$c_R = 1.0$

ORS19_96a; adaptierte CIELAB-Daten

	$L^*=L^*_a$	a^*_a	b^*_a	$C^*_{ab,a}$	$h^*_{ab,a}$
r00j	48.88	66.47	31.67	73.63	25
r25j	55.85	52.39	47.48	70.7	42
r50j	65.45	35.22	58.37	68.17	59
r75j	75.19	17.82	69.41	71.66	76
j00g	87.03	−3.34	82.83	82.9	92
j25g	80.72	−25.0	69.5	73.86	110
j50g	70.64	−39.53	51.97	65.3	127
j75g	61.93	−52.09	36.83	63.8	145
g00b	52.8	−65.27	20.93	68.56	162
g25b	55.7	−49.57	−8.38	50.28	190
g50b	57.82	−38.39	−28.91	48.07	217
g75b	55.5	−22.04	−45.94	50.97	244
b00r	41.6	1.37	−45.0	45.03	272
b25r	29.0	25.08	−43.12	49.89	300
b50r	38.04	46.53	−28.38	54.51	329
b75r	49.48	72.88	−3.75	72.98	357

ORS19_96a; adaptierte CIELAB-Daten

O_{Mn}	48.75	65.07	39.43	76.08	31
Y_{Mn}	90.92	−10.28	87.24	87.85	97
L_{Mn}	52.69	−65.43	20.75	68.65	162
C_{Mn}	59.61	−28.97	−46.21	54.56	238
V_{Mn}	28.39	23.63	−44.12	50.06	298
M_{Mn}	49.58	73.93	−9.55	74.55	353
N_{Mn}	18.89	0.0	0.0	0.0	0
W_{Mn}	96.9	0.0	0.0	0.0	0
R_{CIE}	39.92	58.74	27.99	65.07	25
J_{CIE}	81.26	−2.88	71.56	71.62	92
G_{CIE}	52.23	−42.41	13.6	44.55	162
B_{CIE}	30.57	1.41	−46.46	46.49	272

%Umfang
$u^*_{col} = 89$
%Regularität
$g^*_{H,col} = 72$
$g^*_{C,col} = 57$

Ein und Ausgabe: Farbmetrisches Drucker-Reflektiv-System ORS19_96a für relativen CIELAB-Buntton $h^* = lab^*h^* = h_{ab}/360 = 25/360 = 0.071$ $u^* = r00j$
Daten für jede Farbe:
*lab*tch** und *lab*icu**
Elementar-Bunttontext:
$u^* = r00j$
Kontrastreduzierungsfaktor:
$c_R = 1.0$
Dreiecks-Helligkeit t^*

ORS19_96a; adaptierte CIELAB-Daten

O_{Mn}	48.75	65.07	39.43	76.08	31
Y_{Mn}	90.92	−10.28	87.24	87.85	97
L_{Mn}	52.69	−65.43	20.75	68.65	162
C_{Mn}	59.61	−28.97	−46.21	54.56	238
V_{Mn}	28.39	23.63	−44.12	50.06	298
M_{Mn}	49.58	73.93	−9.55	74.55	353
N_{Mn}	18.89	0.0	0.0	0.0	0
W_{Mn}	96.9	0.0	0.0	0.0	0
R_{CIE}	39.92	58.74	27.99	65.07	25
J_{CIE}	81.26	−2.88	71.56	71.62	92
G_{CIE}	52.23	−42.41	13.6	44.55	162
B_{CIE}	30.57	1.41	−46.46	46.49	272

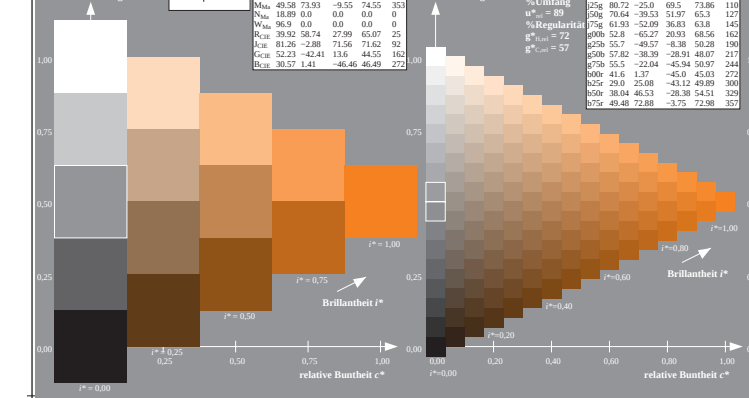

Daten für Maximalfarbe (Ma):
*LAB*LAB**$_{Ma}$: 49 66 32
*LAB*LCH**$_{Ma}$: 49 74 25
*lab*rgb**$_{Ma}$: 1.0 0.0 0.0
*lab*olv**$_{Ma}$: 1.0 0.0 0.16
Dreiecks-Helligkeit t^*

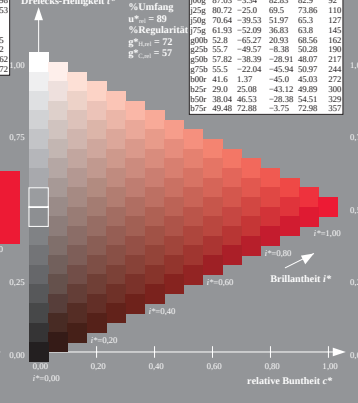

Ein und Ausgabe: Farbmetrisches Drucker-Reflektiv-System ORS19_96a für relativen CIELAB-Buntton $h^* = lab^*h^* = h_{ab}/360 = 42/360 = 0.117$ $u^* = r25j$
Daten für jede Farbe:
*lab*tch** und *lab*icu**
Elementar-Bunttontext:
$u^* = r25j$
Kontrastreduzierungsfaktor:
$c_R = 1.0$
Dreiecks-Helligkeit t^*

ORS19_96a; adaptierte CIELAB-Daten

O_{Mn}	48.75	65.07	39.43	76.08	31
Y_{Mn}	90.92	−10.28	87.24	87.85	97
L_{Mn}	52.69	−65.43	20.75	68.65	162
C_{Mn}	59.61	−28.97	−46.21	54.56	238
V_{Mn}	28.39	23.63	−44.12	50.06	298
M_{Mn}	49.58	73.93	−9.55	74.55	353
N_{Mn}	18.89	0.0	0.0	0.0	0
W_{Mn}	96.9	0.0	0.0	0.0	0
R_{CIE}	39.92	58.74	27.99	65.07	25
J_{CIE}	81.26	−2.88	71.56	71.62	92
G_{CIE}	52.23	−42.41	13.6	44.55	162
B_{CIE}	30.57	1.41	−46.46	46.49	272

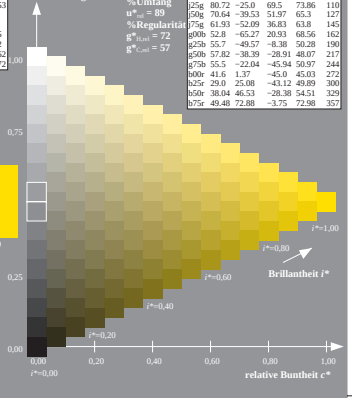

Daten für Maximalfarbe (Ma):
*LAB*LAB**$_{Ma}$: 56 52 47
*LAB*LCH**$_{Ma}$: 56 71 42
*lab*rgb**$_{Ma}$: 1.0 0.25 0.0
*lab*olv**$_{Ma}$: 1.0 0.17 0.0
Dreiecks-Helligkeit t^*

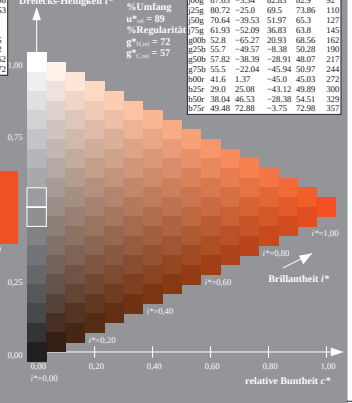

Ein und Ausgabe: Farbmetrisches Drucker-Reflektiv-System ORS19_96a für relativen CIELAB-Buntton $h^* = lab^*h^* = h_{ab}/360 = 59/360 = 0.164$ $u^* = r50j$
Daten für jede Farbe:
*lab*tch** und *lab*icu**
Elementar-Bunttontext:
$u^* = r50j$
Kontrastreduzierungsfaktor:
$c_R = 1.0$
Dreiecks-Helligkeit t^*

ORS19_96a; adaptierte CIELAB-Daten

O_{Mn}	48.75	65.07	39.43	76.08	31
Y_{Mn}	90.92	−10.28	87.24	87.85	97
L_{Mn}	52.69	−65.43	20.75	68.65	162
C_{Mn}	59.61	−28.97	−46.21	54.56	238
V_{Mn}	28.39	23.63	−44.12	50.06	298
M_{Mn}	49.58	73.93	−9.55	74.55	353
N_{Mn}	18.89	0.0	0.0	0.0	0
W_{Mn}	96.9	0.0	0.0	0.0	0
R_{CIE}	39.92	58.74	27.99	65.07	25
J_{CIE}	81.26	−2.88	71.56	71.62	92
G_{CIE}	52.23	−42.41	13.6	44.55	162
B_{CIE}	30.57	1.41	−46.46	46.49	272

Daten für Maximalfarbe (Ma):
*LAB*LAB**$_{Ma}$: 65 35 58
*LAB*LCH**$_{Ma}$: 65 68 59
*lab*rgb**$_{Ma}$: 1.0 0.5 0.0
*lab*olv**$_{Ma}$: 1.0 0.4 0.0
Dreiecks-Helligkeit t^*

Ein und Ausgabe: Farbmetrisches Drucker-Reflektiv-System ORS19_96a für relativen CIELAB-Buntton $h^* = lab^*h^* = h_{ab}/360 = 76/360 = 0.21$ $u^* = r75j$
Daten für jede Farbe:
*lab*tch** und *lab*icu**
Elementar-Bunttontext:
$u^* = r75j$
Kontrastreduzierungsfaktor:
$c_R = 1.0$
Dreiecks-Helligkeit t^*

ORS19_96a; adaptierte CIELAB-Daten

O_{Mn}	48.75	65.07	39.43	76.08	31
Y_{Mn}	90.92	−10.28	87.24	87.85	97
L_{Mn}	52.69	−65.43	20.75	68.65	162
C_{Mn}	59.61	−28.97	−46.21	54.56	238
V_{Mn}	28.39	23.63	−44.12	50.06	298
M_{Mn}	49.58	73.93	−9.55	74.55	353
N_{Mn}	18.89	0.0	0.0	0.0	0
W_{Mn}	96.9	0.0	0.0	0.0	0
R_{CIE}	39.92	58.74	27.99	65.07	25
J_{CIE}	81.26	−2.88	71.56	71.62	92
G_{CIE}	52.23	−42.41	13.6	44.55	162
B_{CIE}	30.57	1.41	−46.46	46.49	272

Daten für Maximalfarbe (Ma):
*LAB*LAB**$_{Ma}$: 87 −2 83
*LAB*LCH**$_{Ma}$: 87 83 92
*lab*rgb**$_{Ma}$: 1.0 1.0 0.0
*lab*olv**$_{Ma}$: 1.0 0.91 0.0
Dreiecks-Helligkeit t^*

Ein und Ausgabe: Farbmetrisches Drucker-Reflektiv-System ORS19_96a für relativen CIELAB-Buntton $h^* = lab^*h^* = h_{ab}/360 = 110/360 = 0.305$ $u^* = j25g$
Daten für jede Farbe:
*lab*tch** und *lab*icu**
Elementar-Bunttontext:
$u^* = j25g$
Kontrastreduzierungsfaktor:
$c_R = 1.0$
Dreiecks-Helligkeit t^*

ORS19_96a; adaptierte CIELAB-Daten

O_{Mn}	48.75	65.07	39.43	76.08	31
Y_{Mn}	90.92	−10.28	87.24	87.85	97
L_{Mn}	52.69	−65.43	20.75	68.65	162
C_{Mn}	59.61	−28.97	−46.21	54.56	238
V_{Mn}	28.39	23.63	−44.12	50.06	298
M_{Mn}	49.58	73.93	−9.55	74.55	353
N_{Mn}	18.89	0.0	0.0	0.0	0
W_{Mn}	96.9	0.0	0.0	0.0	0
R_{CIE}	39.92	58.74	27.99	65.07	25
J_{CIE}	81.26	−2.88	71.56	71.62	92
G_{CIE}	52.23	−42.41	13.6	44.55	162
B_{CIE}	30.57	1.41	−46.46	46.49	272

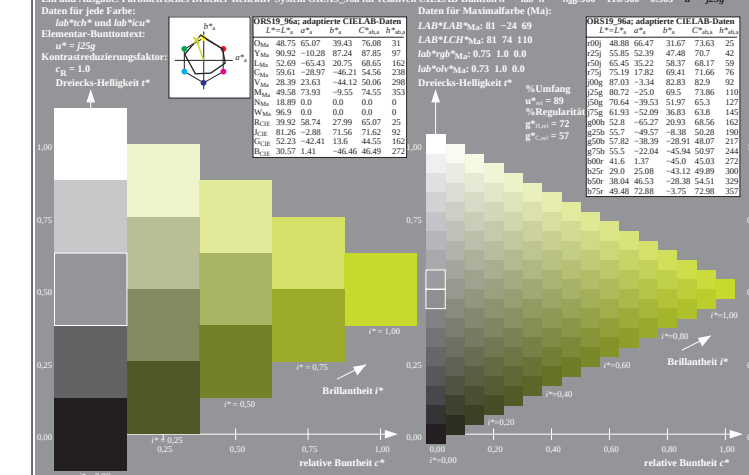

Daten für Maximalfarbe (Ma):
*LAB*LAB**$_{Ma}$: 81 −24 69
*LAB*LCH**$_{Ma}$: 81 74 110
*lab*rgb**$_{Ma}$: 0.75 1.0 0.0
*lab*olv**$_{Ma}$: 0.73 1.0 0.0
Dreiecks-Helligkeit t^*

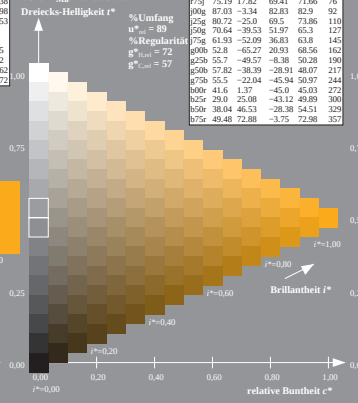

Ein und Ausgabe: Farbmetrisches Drucker-Reflektiv-System ORS19_96a für relativen CIELAB-Buntton $h^* = lab^*h^* = h_{ab}/360 = 127/360 = 0.354$ $u^* = j50g$
Daten für jede Farbe:
*lab*tch** und *lab*icu**
Elementar-Bunttontext:
$u^* = j50g$
Kontrastreduzierungsfaktor:
$c_R = 1.0$
Dreiecks-Helligkeit t^*

ORS19_96a; adaptierte CIELAB-Daten

O_{Mn}	48.75	65.07	39.43	76.08	31
Y_{Mn}	90.92	−10.28	87.24	87.85	97
L_{Mn}	52.69	−65.43	20.75	68.65	162
C_{Mn}	59.61	−28.97	−46.21	54.56	238
V_{Mn}	28.39	23.63	−44.12	50.06	298
M_{Mn}	49.58	73.93	−9.55	74.55	353
N_{Mn}	18.89	0.0	0.0	0.0	0
W_{Mn}	96.9	0.0	0.0	0.0	0
R_{CIE}	39.92	58.74	27.99	65.07	25
J_{CIE}	81.26	−2.88	71.56	71.62	92
G_{CIE}	52.23	−42.41	13.6	44.55	162
B_{CIE}	30.57	1.41	−46.46	46.49	272

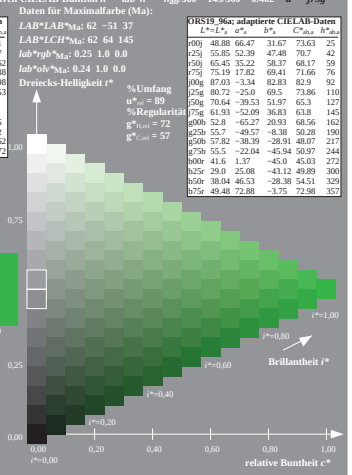

Daten für Maximalfarbe (Ma):
*LAB*LAB**$_{Ma}$: 71 −39 52
*LAB*LCH**$_{Ma}$: 71 65 127
*lab*rgb**$_{Ma}$: 0.5 1.0 0.0
*lab*olv**$_{Ma}$: 0.47 1.0 0.0
Dreiecks-Helligkeit t^*

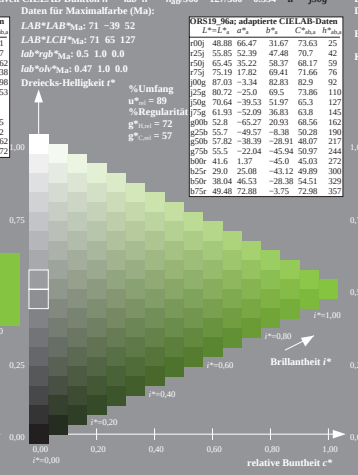

Ein und Ausgabe: Farbmetrisches Drucker-Reflektiv-System ORS19_96a für relativen CIELAB-Buntton $h^* = lab^*h^* = h_{ab}/360 = 145/360 = 0.402$ $u^* = j75g$
Daten für jede Farbe:
*lab*tch** und *lab*icu**
Elementar-Bunttontext:
$u^* = j75g$
Kontrastreduzierungsfaktor:
$c_R = 1.0$
Dreiecks-Helligkeit t^*

ORS19_96a; adaptierte CIELAB-Daten

O_{Mn}	48.75	65.07	39.43	76.08	31
Y_{Mn}	90.92	−10.28	87.24	87.85	97
L_{Mn}	52.69	−65.43	20.75	68.65	162
C_{Mn}	59.61	−28.97	−46.21	54.56	238
V_{Mn}	28.39	23.63	−44.12	50.06	298
M_{Mn}	49.58	73.93	−9.55	74.55	353
N_{Mn}	18.89	0.0	0.0	0.0	0
W_{Mn}	96.9	0.0	0.0	0.0	0
R_{CIE}	39.92	58.74	27.99	65.07	25
J_{CIE}	81.26	−2.88	71.56	71.62	92
G_{CIE}	52.23	−42.41	13.6	44.55	162
B_{CIE}	30.57	1.41	−46.46	46.49	272

Daten für Maximalfarbe (Ma):
*LAB*LAB**$_{Ma}$: 62 −51 37
*LAB*LCH**$_{Ma}$: 62 64 145
*lab*rgb**$_{Ma}$: 0.25 1.0 0.0
*lab*olv**$_{Ma}$: 0.24 1.0 0.0
Dreiecks-Helligkeit t^*

Ein und Ausgabe: Farbmetrisches Drucker-Reflektiv-System ORS19_96a
Daten für jede Farbe: *lab*tch** und *lab*icu**
Elementar-Bunttontext: $u^* = 16$ Buntẗone *r00j, r25j, ..., b75r*
Kontrastreduzierungsfaktor: $c_R = 1.0$

ORS19_96a; adaptierte CIELAB-Daten	$L^*=L^*_a$	a^*_a	b^*_a	$C^*_{ab,a}$	$h^*_{ab,a}$
r00j	48.88	66.47	31.67	73.63	25
r25j	55.85	52.39	47.48	70.7	42
r50j	65.45	35.22	58.37	68.17	59
r75j	75.19	17.82	69.41	71.66	76
j00g	87.03	−3.34	82.83	82.9	92
j25g	80.72	−25.0	69.5	73.86	110
j50g	70.64	−39.53	51.97	65.3	127
j75g	61.93	−52.09	36.83	63.8	145
g00b	52.8	−65.27	20.93	68.56	162
g25b	55.7	−49.57	−8.38	50.28	190
g50b	57.82	−38.39	−28.91	48.07	217
g75b	55.5	−22.04	−45.94	50.97	244
b00r	41.6	1.37	−45.0	45.03	272
b25r	29.0	25.08	−43.12	49.89	300
b50r	38.04	46.53	−28.38	54.51	329
b75r	49.48	72.88	−3.75	72.98	357

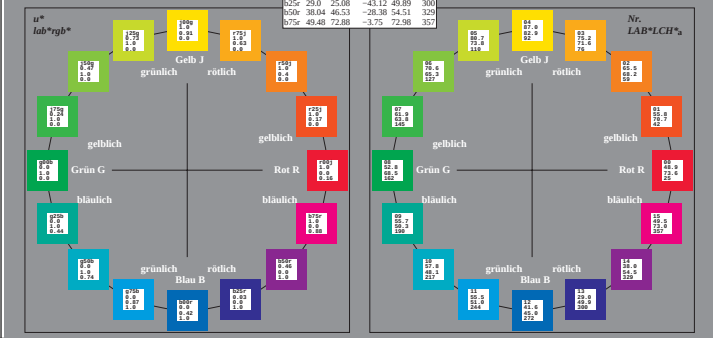

ORS19_96a; adaptierte CIELAB-Daten	$L^*=L^*_a$	a^*_a	b^*_a	$C^*_{ab,a}$	$h^*_{ab,a}$
O_{Mu}	48.75	65.07	39.43	76.08	31
Y_{Mu}	90.92	−10.28	87.24	87.85	97
L_{Mu}	52.69	−65.43	20.75	68.65	162
C_{Mu}	59.61	−28.97	−46.21	54.56	238
V_{Mu}	28.39	23.63	−44.12	50.06	298
M_{Mu}	49.58	73.93	−9.55	74.55	353
N_{Mu}	18.89	0.0	0.0	0.0	0
W_{Mu}	96.9	0.0	0.0	0.0	0
R_{CIE}	39.92	58.74	27.99	65.07	25
J_{CIE}	81.26	−2.88	71.56	71.62	92
G_{CIE}	52.23	−42.41	13.6	44.55	162
B_{CIE}	30.57	1.41	−46.46	46.49	272

Ein und Ausgabe: Farbmetrisches Drucker-Reflektiv-System ORS19_96a für relativen CIELAB-Buntton $h^* = lab^*h^* = h_{ab}/360 = 25/360 = 0.071$ $u^* = r00j$ lab^*rgb^*
Daten für jede Farbe: *lab*tch** und *lab*icu**
Elementar-Bunttontext: $u^* = r00j$
Kontrastreduzierungsfaktor: $c_R = 1.0$
Daten für Maximalfarbe (Ma):
$LAB^*LAB^*_{Ma}$: 49 66 32
$LAB^*LCH^*_{Ma}$: 49 74 25
$lab^*rgb^*_{Ma}$: 1.0 0.0 0.0
$lab^*ol\text{-}v^*_{Ma}$: 1.0 0.0 0.16

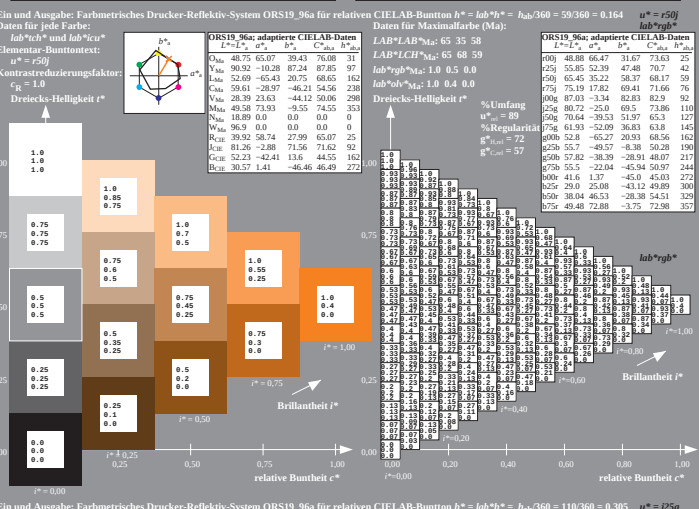

Ein und Ausgabe: Farbmetrisches Drucker-Reflektiv-System ORS19_96a für relativen CIELAB-Buntton $h^* = lab^*h^* = h_{ab}/360 = 42/360 = 0.117$ $u^* = r25j$ lab^*rgb^*
Daten für jede Farbe: *lab*tch** und *lab*icu**
Elementar-Bunttontext: $u^* = r25j$
Kontrastreduzierungsfaktor: $c_R = 1.0$
Daten für Maximalfarbe (Ma):
$LAB^*LAB^*_{Ma}$: 56 52 47
$LAB^*LCH^*_{Ma}$: 56 71 42
$lab^*rgb^*_{Ma}$: 1.0 0.25 0.0
$lab^*ol\text{-}v^*_{Ma}$: 1.0 0.17 0.0

Ein und Ausgabe: Farbmetrisches Drucker-Reflektiv-System ORS19_96a für relativen CIELAB-Buntton $h^* = lab^*h^* = h_{ab}/360 = 59/360 = 0.164$ $u^* = r50j$ lab^*rgb^*
Daten für jede Farbe: *lab*tch** und *lab*icu**
Elementar-Bunttontext: $u^* = r50j$
Kontrastreduzierungsfaktor: $c_R = 1.0$
Daten für Maximalfarbe (Ma):
$LAB^*LAB^*_{Ma}$: 65 35 58
$LAB^*LCH^*_{Ma}$: 65 68 59
$lab^*rgb^*_{Ma}$: 1.0 0.5 0.0
$lab^*ol\text{-}v^*_{Ma}$: 1.0 0.4 0.0

Ein und Ausgabe: Farbmetrisches Drucker-Reflektiv-System ORS19_96a für relativen CIELAB-Buntton $h^* = lab^*h^* = h_{ab}/360 = 76/360 = 0.21$ $u^* = r75j$ lab^*rgb^*
Daten für jede Farbe: *lab*tch** und *lab*icu**
Elementar-Bunttontext: $u^* = r75j$
Kontrastreduzierungsfaktor: $c_R = 1.0$
Daten für Maximalfarbe (Ma):
$LAB^*LAB^*_{Ma}$: 75 18 69
$LAB^*LCH^*_{Ma}$: 75 72 76
$lab^*rgb^*_{Ma}$: 1.0 0.75 0.0
$lab^*ol\text{-}v^*_{Ma}$: 1.0 0.63 0.0

Ein und Ausgabe: Farbmetrisches Drucker-Reflektiv-System ORS19_96a für relativen CIELAB-Buntton $h^* = lab^*h^* = h_{ab}/360 = 92/360 = 0.256$ $u^* = j00g$ lab^*rgb^*
Daten für jede Farbe: *lab*tch** und *lab*icu**
Elementar-Bunttontext: $u^* = j00g$
Kontrastreduzierungsfaktor: $c_R = 1.0$
Daten für Maximalfarbe (Ma):
$LAB^*LAB^*_{Ma}$: 87 −2 83
$LAB^*LCH^*_{Ma}$: 87 83 92
$lab^*rgb^*_{Ma}$: 1.0 1.0 0.0
$lab^*ol\text{-}v^*_{Ma}$: 1.0 0.91 0.0

Ein und Ausgabe: Farbmetrisches Drucker-Reflektiv-System ORS19_96a für relativen CIELAB-Buntton $h^* = lab^*h^* = h_{ab}/360 = 110/360 = 0.305$ $u^* = j25g$ lab^*rgb^*
Daten für jede Farbe: *lab*tch** und *lab*icu**
Elementar-Bunttontext: $u^* = j25g$
Kontrastreduzierungsfaktor: $c_R = 1.0$
Daten für Maximalfarbe (Ma):
$LAB^*LAB^*_{Ma}$: 81 −24 69
$LAB^*LCH^*_{Ma}$: 81 74 110
$lab^*rgb^*_{Ma}$: 0.5 1.0 0.0
$lab^*ol\text{-}v^*_{Ma}$: 0.73 1.0 0.0

Ein und Ausgabe: Farbmetrisches Drucker-Reflektiv-System ORS19_96a für relativen CIELAB-Buntton $h^* = lab^*h^* = h_{ab}/360 = 127/360 = 0.354$ $u^* = j50g$ lab^*rgb^*
Daten für jede Farbe: *lab*tch** und *lab*icu**
Elementar-Bunttontext: $u^* = j50g$
Kontrastreduzierungsfaktor: $c_R = 1.0$
Daten für Maximalfarbe (Ma):
$LAB^*LAB^*_{Ma}$: 71 −39 52
$LAB^*LCH^*_{Ma}$: 71 65 127
$lab^*rgb^*_{Ma}$: 0.5 1.0 0.0
$lab^*ol\text{-}v^*_{Ma}$: 0.47 1.0 0.0

Ein und Ausgabe: Farbmetrisches Drucker-Reflektiv-System ORS19_96a für relativen CIELAB-Buntton $h^* = lab^*h^* = h_{ab}/360 = 145/360 = 0.402$ $u^* = j75g$ lab^*rgb^*
Daten für jede Farbe: *lab*tch** und *lab*icu**
Elementar-Bunttontext: $u^* = j75g$
Kontrastreduzierungsfaktor: $c_R = 1.0$
Daten für Maximalfarbe (Ma):
$LAB^*LAB^*_{Ma}$: 62 −51 37
$LAB^*LCH^*_{Ma}$: 62 64 145
$lab^*rgb^*_{Ma}$: 0.25 1.0 0.0
$lab^*ol\text{-}v^*_{Ma}$: 0.24 1.0 0.0

Ein und Ausgabe: Farbmetrisches Drucker-Reflektiv-System ORS19_96a
Daten für jede Farbe: *lab*tch** und *lab*icu**
Elementar-Bunttontext: $u^* = 16$ Bunttöne *r00j, r25j, ..., b75r*
Kontrastreduzierungsfaktor: $c_R = 1.0$

ORS19_96a; adaptierte CIELAB-Daten	$L^*=L^*_a$	a^*_a	b^*_a	$C^*_{ab,a}$	$h^*_{ab,a}$
r00j	48.88	66.47	31.67	73.63	25
r25j	55.85	52.39	47.48	70.7	42
r50j	65.45	35.22	58.37	68.17	59
r75j	75.19	17.82	69.41	71.66	76
j00g	87.03	−3.34	82.83	82.9	92
j25g	80.72	−25.0	69.5	73.86	110
j50g	70.64	−39.53	51.97	65.3	127
j75g	61.93	−52.09	36.83	63.8	145
g00b	52.8	−65.27	20.93	68.56	162
g25b	55.7	−49.57	−8.38	50.28	190
g50b	57.82	−38.39	−28.91	48.07	217
g75b	55.5	−22.04	−45.94	50.97	244
b00r	41.6	1.37	−45.0	45.03	272
b25r	29.0	25.08	−43.12	49.89	300
b50r	38.04	46.53	−28.38	54.51	329
b75r	49.48	72.88	−3.75	72.98	357

ORS19_96a; adaptierte CIELAB-Daten	$L^*=L^*_a$	a^*_a	b^*_a	$C^*_{ab,a}$	$h^*_{ab,a}$
O_{Mn}	48.75	65.07	39.43	76.08	31
Y_{Mn}	90.92	−10.28	87.24	87.85	97
L_{Mn}	52.69	−65.43	20.75	68.65	162
C_{Mn}	59.61	−28.97	−46.21	54.56	238
V_{Mn}	28.39	23.63	−44.12	50.06	298
M_{Mn}	49.58	73.93	−9.55	74.55	353
N_{Mn}	18.89	0.0	0.0	0.0	0
W_{Mn}	96.9	0.0	0.0	0.0	0
R_{CIE}	39.92	58.74	27.99	65.07	25
J_{CIE}	81.26	−2.88	71.56	71.62	92
G_{CIE}	52.23	−42.41	13.6	44.55	162
B_{CIE}	30.57	1.41	−46.46	46.49	272

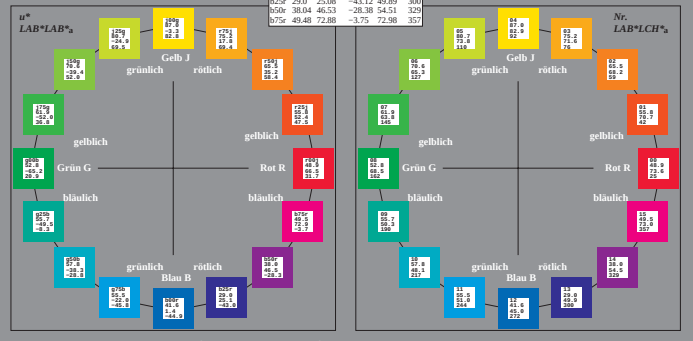

Ein und Ausgabe: Farbmetrisches Drucker-Reflektiv-System ORS19_96a für relativen CIELAB-Buntton $h^* = lab^*b^* = h_{ab}/360 = 25/360 = 0.071$ $u^* = r00j$
Daten für jede Farbe: *lab*tch** und *lab*icu**
Elementar-Bunttontext: $u^* = r00j$
Kontrastreduzierungsfaktor: $c_R = 1.0$
Daten für Maximalfarbe (Ma): $LAB^*LAB^*_{Ma}$: 49 66 32; $LAB^*LCH^*_{Ma}$: 49 74 25; $lab^*rgb^*_{Ma}$: 1.0 0.0 0.0; $lab^*olv^*_{Ma}$: 1.0 0.0 0.16

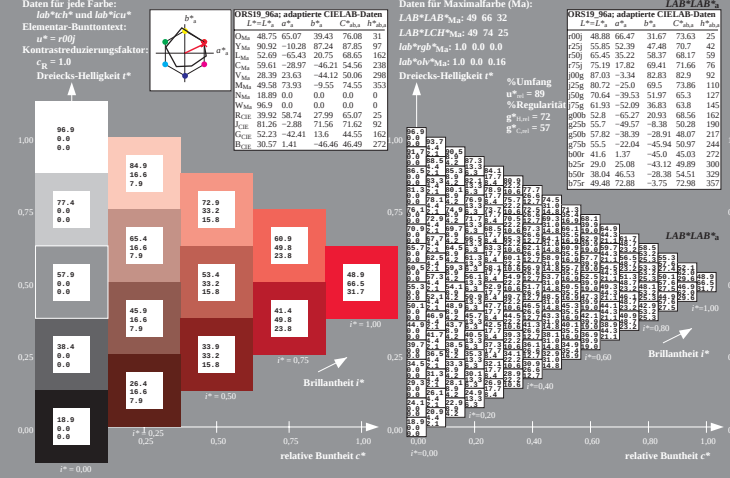

Ein und Ausgabe: Farbmetrisches Drucker-Reflektiv-System ORS19_96a für relativen CIELAB-Buntton $h^* = lab^*b^* = h_{ab}/360 = 42/360 = 0.117$ $u^* = r25j$
Daten für jede Farbe: *lab*tch** und *lab*icu**
Elementar-Bunttontext: $u^* = r25j$
Kontrastreduzierungsfaktor: $c_R = 1.0$
Daten für Maximalfarbe (Ma): $LAB^*LAB^*_{Ma}$: 56 52 47; $LAB^*LCH^*_{Ma}$: 56 71 42; $lab^*rgb^*_{Ma}$: 1.0 0.25 0.0; $lab^*olv^*_{Ma}$: 1.0 0.17 0.0

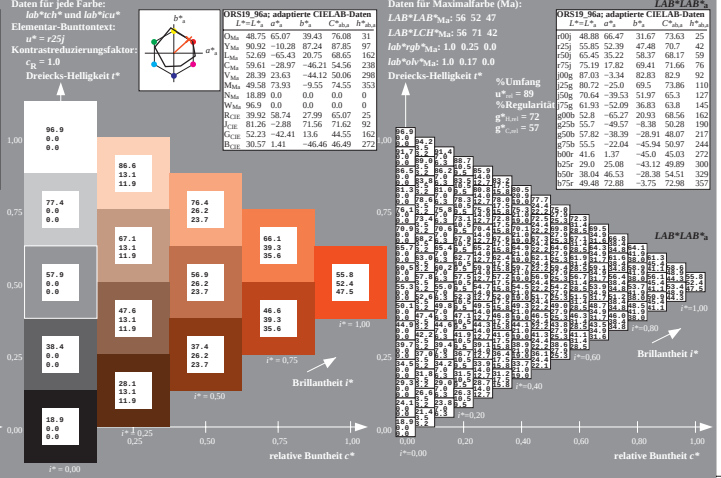

Ein und Ausgabe: Farbmetrisches Drucker-Reflektiv-System ORS19_96a für relativen CIELAB-Buntton $h^* = lab^*b^* = h_{ab}/360 = 59/360 = 0.164$ $u^* = r50j$
Daten für jede Farbe: *lab*tch** und *lab*icu**
Elementar-Bunttontext: $u^* = r50j$
Kontrastreduzierungsfaktor: $c_R = 1.0$
Daten für Maximalfarbe (Ma): $LAB^*LAB^*_{Ma}$: 65 35 58; $LAB^*LCH^*_{Ma}$: 65 68 59; $lab^*rgb^*_{Ma}$: 1.0 0.5 0.0; $lab^*olv^*_{Ma}$: 1.0 0.4 0.0

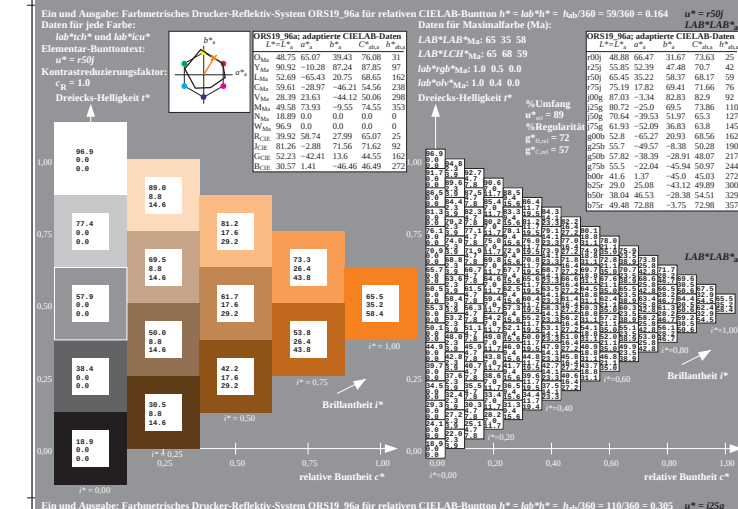

Ein und Ausgabe: Farbmetrisches Drucker-Reflektiv-System ORS19_96a für relativen CIELAB-Buntton $h^* = lab^*b^* = h_{ab}/360 = 76/360 = 0.21$ $u^* = r75j$
Daten für jede Farbe: *lab*tch** und *lab*icu**
Elementar-Bunttontext: $u^* = r75j$
Kontrastreduzierungsfaktor: $c_R = 1.0$
Daten für Maximalfarbe (Ma): $LAB^*LAB^*_{Ma}$: 75 18 69; $LAB^*LCH^*_{Ma}$: 75 72 76; $lab^*rgb^*_{Ma}$: 1.0 0.75 0.0; $lab^*olv^*_{Ma}$: 1.0 0.63 0.0

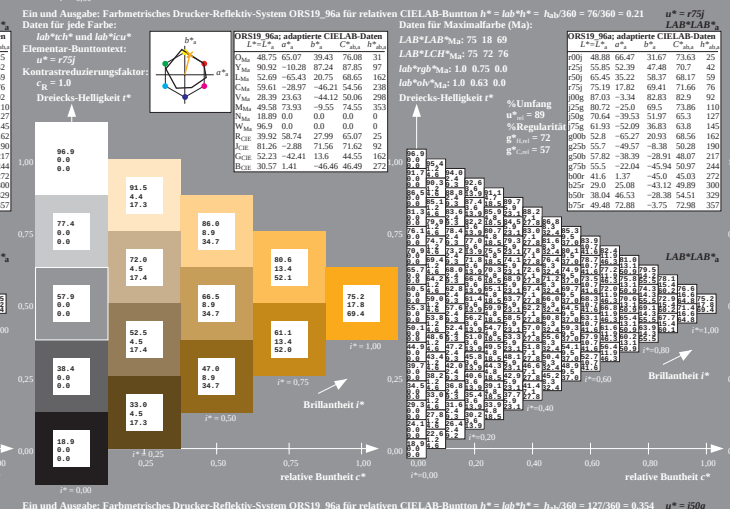

Ein und Ausgabe: Farbmetrisches Drucker-Reflektiv-System ORS19_96a für relativen CIELAB-Buntton $h^* = lab^*b^* = h_{ab}/360 = 92/360 = 0.256$ $u^* = j00g$
Daten für jede Farbe: *lab*tch** und *lab*icu**
Elementar-Bunttontext: $u^* = j00g$
Kontrastreduzierungsfaktor: $c_R = 1.0$
Daten für Maximalfarbe (Ma): $LAB^*LAB^*_{Ma}$: 87 −2 83; $LAB^*LCH^*_{Ma}$: 87 83 92; $lab^*rgb^*_{Ma}$: 1.0 1.0 0.0; $lab^*olv^*_{Ma}$: 1.0 0.91 0.0

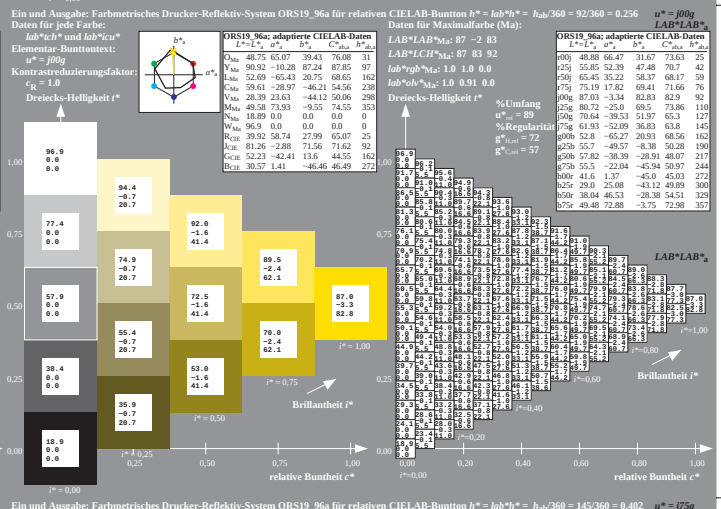

Ein und Ausgabe: Farbmetrisches Drucker-Reflektiv-System ORS19_96a für relativen CIELAB-Buntton $h^* = lab^*b^* = h_{ab}/360 = 110/360 = 0.305$ $u^* = j25g$
Daten für jede Farbe: *lab*tch** und *lab*icu**
Elementar-Bunttontext: $u^* = j25g$
Kontrastreduzierungsfaktor: $c_R = 1.0$
Daten für Maximalfarbe (Ma): $LAB^*LAB^*_{Ma}$: 81 −24 69; $LAB^*LCH^*_{Ma}$: 81 74 110; $lab^*rgb^*_{Ma}$: 0.5 1.0 0.0; $lab^*olv^*_{Ma}$: 0.73 1.0 0.0

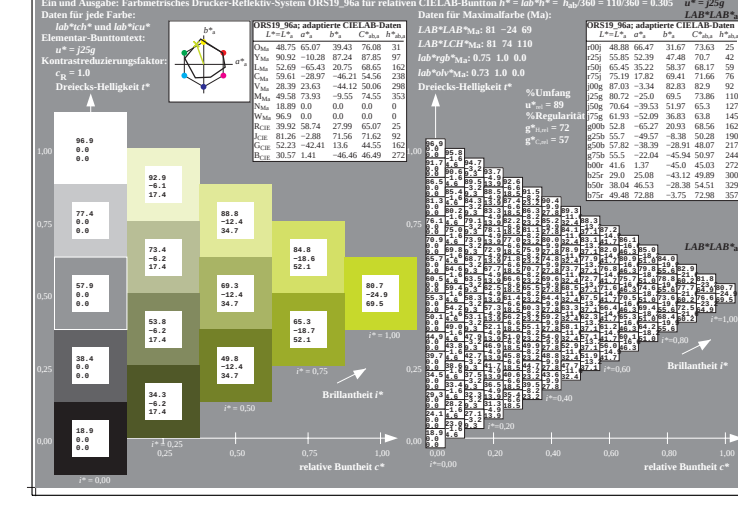

Ein und Ausgabe: Farbmetrisches Drucker-Reflektiv-System ORS19_96a für relativen CIELAB-Buntton $h^* = lab^*b^* = h_{ab}/360 = 127/360 = 0.354$ $u^* = j50g$
Daten für jede Farbe: *lab*tch** und *lab*icu**
Elementar-Bunttontext: $u^* = j50g$
Kontrastreduzierungsfaktor: $c_R = 1.0$
Daten für Maximalfarbe (Ma): $LAB^*LAB^*_{Ma}$: 71 −39 52; $LAB^*LCH^*_{Ma}$: 71 65 127; $lab^*rgb^*_{Ma}$: 0.5 1.0 0.0; $lab^*olv^*_{Ma}$: 0.47 1.0 0.0

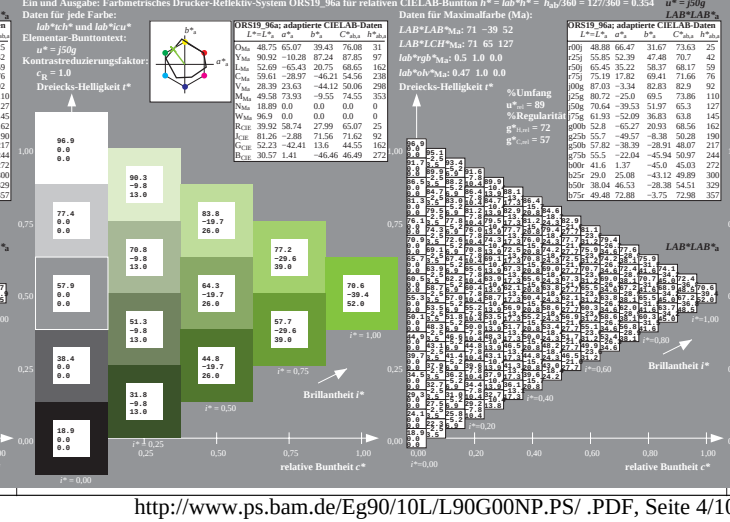

Ein und Ausgabe: Farbmetrisches Drucker-Reflektiv-System ORS19_96a für relativen CIELAB-Buntton $h^* = lab^*b^* = h_{ab}/360 = 145/360 = 0.402$ $u^* = j75g$
Daten für jede Farbe: *lab*tch** und *lab*icu**
Elementar-Bunttontext: $u^* = j75g$
Kontrastreduzierungsfaktor: $c_R = 1.0$
Daten für Maximalfarbe (Ma): $LAB^*LAB^*_{Ma}$: 62 −51 37; $LAB^*LCH^*_{Ma}$: 62 64 145; $lab^*rgb^*_{Ma}$: 0.25 1.0 0.0; $lab^*olv^*_{Ma}$: 0.24 1.0 0.0

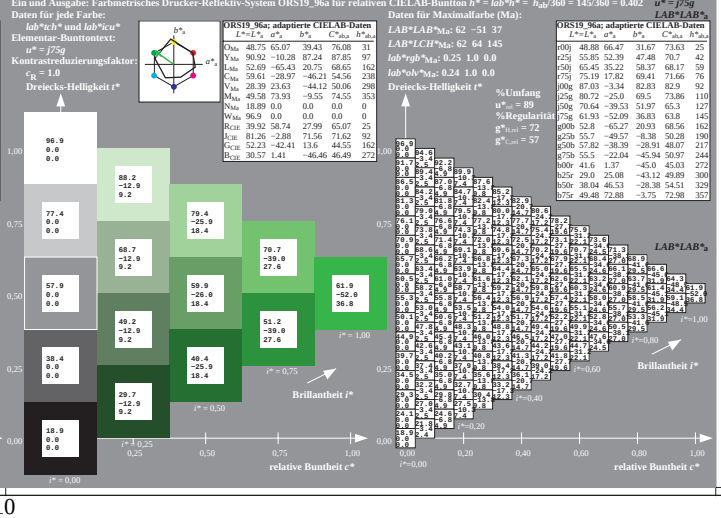

Ein und Ausgabe: Farbmetrisches Drucker-Reflektiv-System ORS19_96a für relativen CIELAB-Buntton $h^* = lab^*b^* = h_{ab}/360 = 25/360 = 0.071$ $u^* = r00j$ $LAB^*LCH^*_a$

Daten für jede Farbe: *lab*tch** und *lab*icu**
Elementar-Buntkontext: $u^* = r00j$
Kontrastreduzierungsfaktor: $c_R = 1.0$
Daten für Maximalfarbe (Ma): $LAB^*LAB^*_{Ma}$: 49 66 32 $LAB^*LCH^*_{Ma}$: 49 74 25 $lab^*rgb^*_{Ma}$: 1.0 0.0 0.0 $lab^*olv^*_{Ma}$: 1.0 0.0 0.16

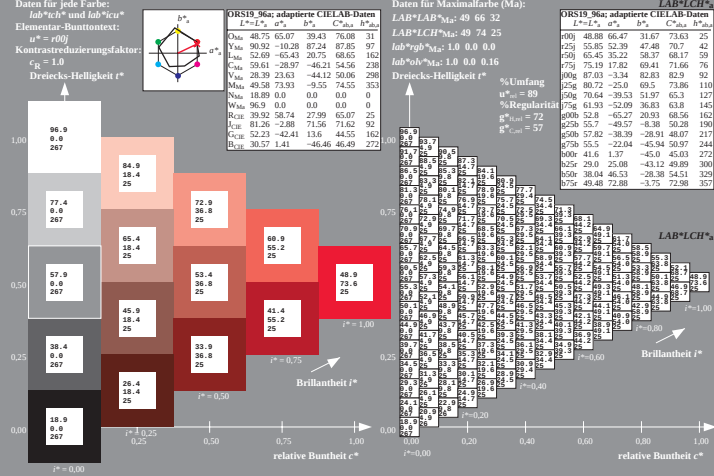

Ein und Ausgabe: Farbmetrisches Drucker-Reflektiv-System ORS19_96a für relativen CIELAB-Buntton $h^* = lab^*b^* = h_{ab}/360 = 42/360 = 0.117$ $u^* = r25j$ $LAB^*LCH^*_a$

Daten für jede Farbe: *lab*tch** und *lab*icu**
Elementar-Buntkontext: $u^* = r25j$
Kontrastreduzierungsfaktor: $c_R = 1.0$
Daten für Maximalfarbe (Ma): $LAB^*LAB^*_{Ma}$: 56 52 47 $LAB^*LCH^*_{Ma}$: 56 71 42 $lab^*rgb^*_{Ma}$: 1.0 0.25 0.0 $lab^*olv^*_{Ma}$: 1.0 0.17 0.0

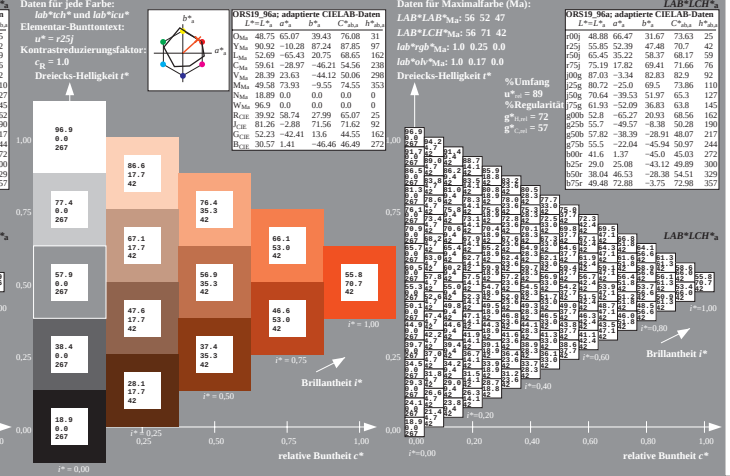

Ein und Ausgabe: Farbmetrisches Drucker-Reflektiv-System ORS19_96a für relativen CIELAB-Buntton $h^* = lab^*b^* = h_{ab}/360 = 59/360 = 0.164$ $u^* = r50j$ $LAB^*LCH^*_a$

Daten für jede Farbe: *lab*tch** und *lab*icu**
Elementar-Buntkontext: $u^* = r50j$
Kontrastreduzierungsfaktor: $c_R = 1.0$
Daten für Maximalfarbe (Ma): $LAB^*LAB^*_{Ma}$: 65 35 58 $LAB^*LCH^*_{Ma}$: 65 68 59 $lab^*rgb^*_{Ma}$: 1.0 0.5 0.0 $lab^*olv^*_{Ma}$: 1.0 0.4 0.0

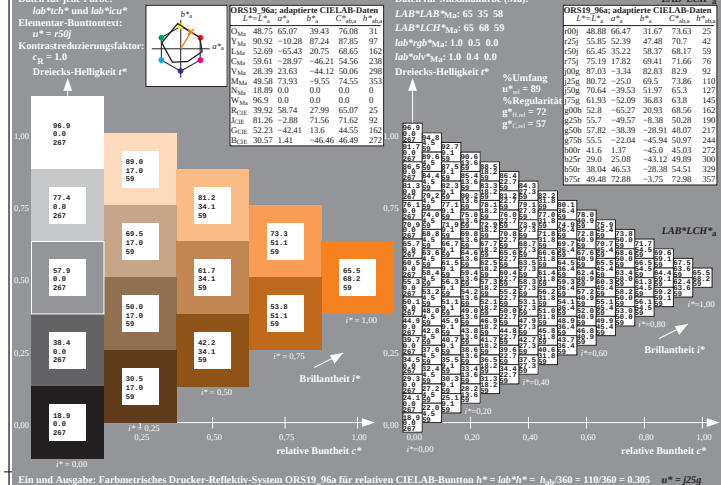

Ein und Ausgabe: Farbmetrisches Drucker-Reflektiv-System ORS19_96a für relativen CIELAB-Buntton $h^* = lab^*b^* = h_{ab}/360 = 76/360 = 0.21$ $u^* = r75j$ $LAB^*LCH^*_a$

Daten für jede Farbe: *lab*tch** und *lab*icu**
Elementar-Buntkontext: $u^* = r75j$
Kontrastreduzierungsfaktor: $c_R = 1.0$
Daten für Maximalfarbe (Ma): $LAB^*LAB^*_{Ma}$: 75 18 69 $LAB^*LCH^*_{Ma}$: 75 72 76 $lab^*rgb^*_{Ma}$: 1.0 0.75 0.0 $lab^*olv^*_{Ma}$: 1.0 0.63 0.0

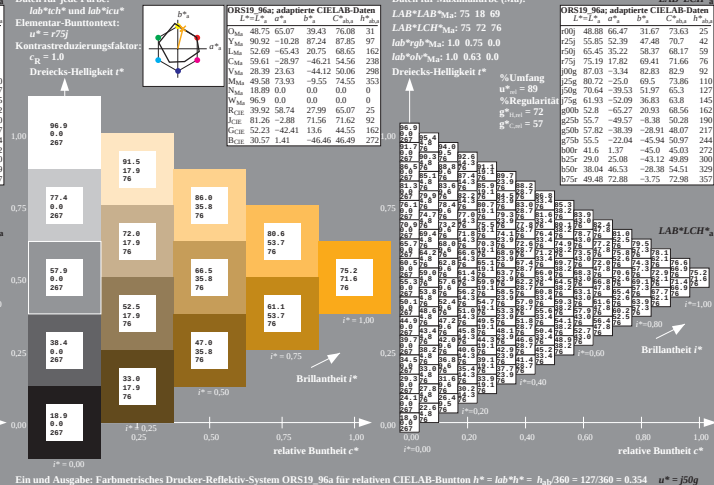

Ein und Ausgabe: Farbmetrisches Drucker-Reflektiv-System ORS19_96a für relativen CIELAB-Buntton $h^* = lab^*b^* = h_{ab}/360 = 92/360 = 0.256$ $u^* = j00g$ $LAB^*LCH^*_a$

Daten für jede Farbe: *lab*tch** und *lab*icu**
Elementar-Buntkontext: $u^* = j00g$
Kontrastreduzierungsfaktor: $c_R = 1.0$
Daten für Maximalfarbe (Ma): $LAB^*LAB^*_{Ma}$: 87 −2 83 $LAB^*LCH^*_{Ma}$: 87 83 92 $lab^*rgb^*_{Ma}$: 1.0 1.0 0.0 $lab^*olv^*_{Ma}$: 1.0 0.91 0.0

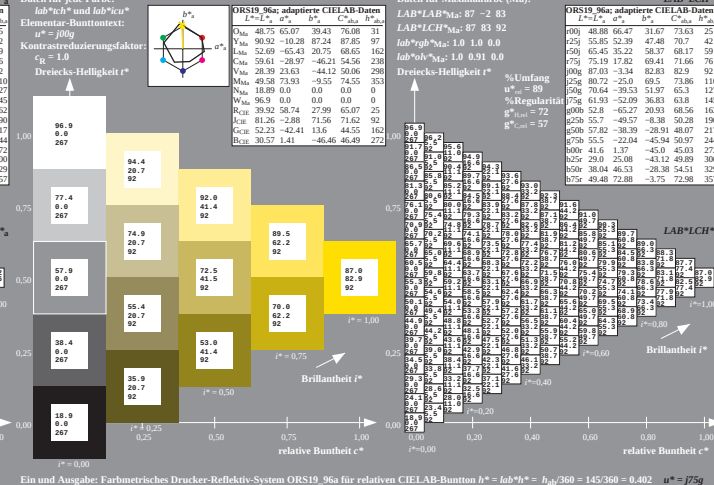

Ein und Ausgabe: Farbmetrisches Drucker-Reflektiv-System ORS19_96a für relativen CIELAB-Buntton $h^* = lab^*b^* = h_{ab}/360 = 110/360 = 0.305$ $u^* = j25g$ $LAB^*LCH^*_a$

Daten für jede Farbe: *lab*tch** und *lab*icu**
Elementar-Buntkontext: $u^* = j25g$
Kontrastreduzierungsfaktor: $c_R = 1.0$
Daten für Maximalfarbe (Ma): $LAB^*LAB^*_{Ma}$: 81 −24 69 $LAB^*LCH^*_{Ma}$: 81 74 110 $lab^*rgb^*_{Ma}$: 0.75 1.0 0.0 $lab^*olv^*_{Ma}$: 0.73 1.0 0.0

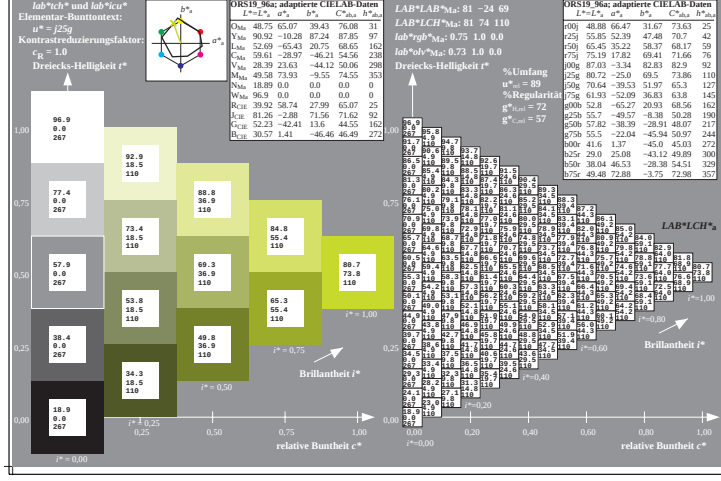

Ein und Ausgabe: Farbmetrisches Drucker-Reflektiv-System ORS19_96a für relativen CIELAB-Buntton $h^* = lab^*b^* = h_{ab}/360 = 127/360 = 0.354$ $u^* = j50g$ $LAB^*LCH^*_a$

Daten für jede Farbe: *lab*tch** und *lab*icu**
Elementar-Buntkontext: $u^* = j50g$
Kontrastreduzierungsfaktor: $c_R = 1.0$
Daten für Maximalfarbe (Ma): $LAB^*LAB^*_{Ma}$: 71 −39 52 $LAB^*LCH^*_{Ma}$: 71 65 127 $lab^*rgb^*_{Ma}$: 0.5 1.0 0.0 $lab^*olv^*_{Ma}$: 0.47 1.0 0.0

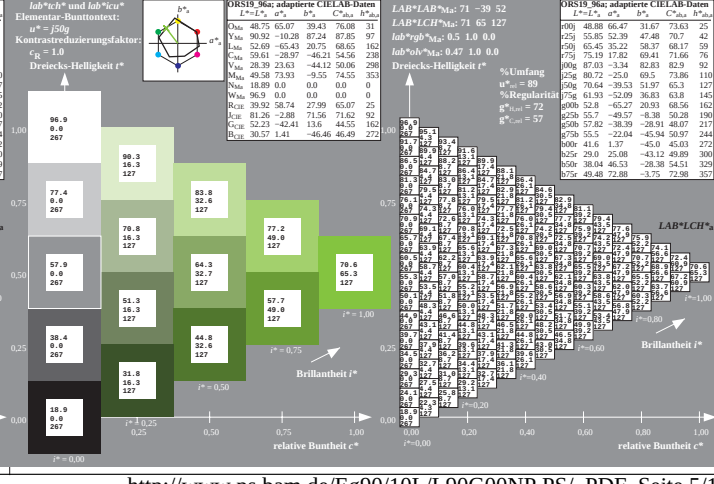

Ein und Ausgabe: Farbmetrisches Drucker-Reflektiv-System ORS19_96a für relativen CIELAB-Buntton $h^* = lab^*b^* = h_{ab}/360 = 145/360 = 0.402$ $u^* = j75g$ $LAB^*LCH^*_a$

Daten für jede Farbe: *lab*tch** und *lab*icu**
Elementar-Buntkontext: $u^* = j75g$
Kontrastreduzierungsfaktor: $c_R = 1.0$
Daten für Maximalfarbe (Ma): $LAB^*LAB^*_{Ma}$: 62 −51 37 $LAB^*LCH^*_{Ma}$: 62 64 145 $lab^*rgb^*_{Ma}$: 0.25 1.0 0.0 $lab^*olv^*_{Ma}$: 0.24 1.0 0.0

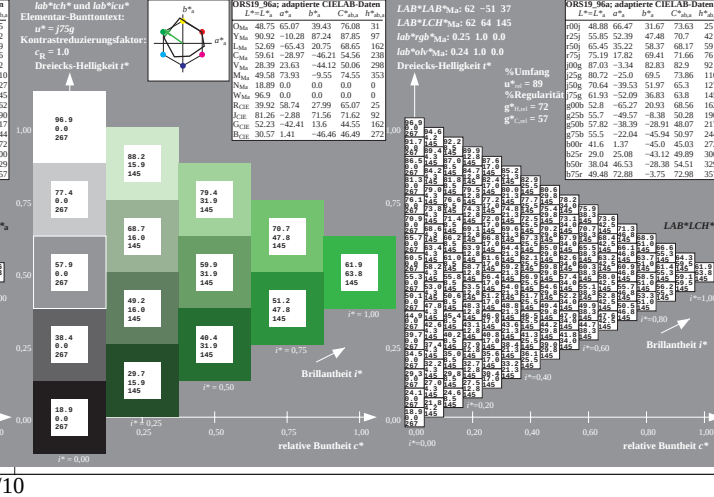

Ein und Ausgabe: Farbmetrisches Drucker-Reflektiv-System ORS19_96a
Daten für jede Farbe: *lab*tch** und *lab*icu**
Elementar-Bunttontext: $u^* = 16$ Bunttöne *r00j, r25j, ..., b75r*
Kontrastreduzierungsfaktor: $c_R = 1.0$

ORS19_96a; adaptierte CIELAB-Daten	$L^*=L^*_a$	a^*_a	b^*_a	$C^*_{ab,a}$	$h^*_{ab,a}$
r00j	48.88	66.47	31.67	73.63	25
r25j	55.85	52.39	47.48	70.7	42
r50j	65.45	35.22	58.37	68.17	59
r75j	75.19	17.82	69.41	71.66	76
j00g	87.03	−3.34	82.83	82.9	92
j25g	80.72	−25.0	69.5	73.86	110
j50g	70.64	−39.53	51.97	65.3	127
j75g	61.93	−52.09	36.83	63.8	145
g00b	52.8	−65.27	20.93	68.56	162
g25b	55.7	−49.57	−8.38	50.28	190
g50b	57.82	−38.39	−28.91	48.07	217
g75b	55.5	−22.04	−45.94	50.97	244
b00r	41.6	1.37	−45.0	45.03	272
b25r	29.0	25.08	−43.12	49.89	300
b50r	38.04	46.53	−28.38	54.51	329
b75r	49.48	72.88	−3.75	72.98	357

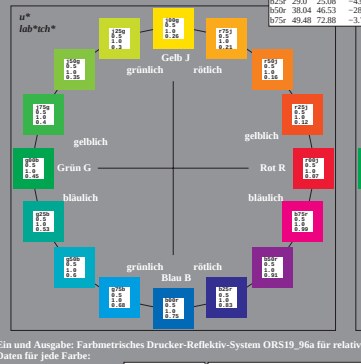

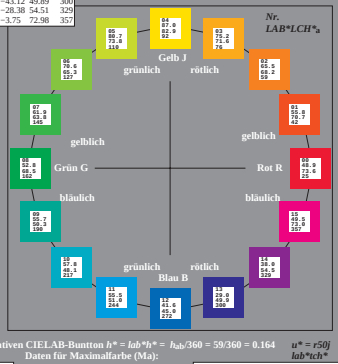

ORS19_96a; adaptierte CIELAB-Daten	$L^*=L^*_a$	a^*_a	b^*_a	$C^*_{ab,a}$	$h^*_{ab,a}$
O_{Mu}	48.75	65.07	39.43	76.08	31
Y_{Mu}	90.92	−10.28	87.24	87.85	97
L_{Mu}	52.69	−65.43	20.75	68.65	162
C_{Mu}	59.61	−28.97	−46.21	54.56	238
V_{Mu}	28.39	23.63	−44.12	50.06	298
M_{Mu}	49.58	73.93	−9.55	74.55	353
N_{Mu}	18.89	0.0	0.0	0.0	0
W_{Mu}	96.9	0.0	0.0	0.0	0
R_{CIE}	39.92	58.74	27.99	65.07	25
J_{CIE}	81.26	−2.88	71.56	71.62	92
G_{CIE}	52.23	−42.41	13.6	44.55	162
B_{CIE}	30.57	1.41	−46.46	46.49	272

%Umfang $u^*_{rel} = 89$
%Regularität $g^*_{H,rel} = 72$
$g^*_{C,rel} = 57$

Ein und Ausgabe: Farbmetrisches Drucker-Reflektiv-System ORS19_96a für relativen CIELAB-Buntton $h^* = lab^*h^* = h_{ab}/360 = 25/360 = 0.071$ $u^* = r00j$ *lab*tch**
Daten für jede Farbe: *lab*tch** und *lab*icu**
Elementar-Bunttontext: $u^* = r00j$
Kontrastreduzierungsfaktor: $c_R = 1.0$
Daten für Maximalfarbe (Ma): *LAB*LAB*$_{Ma}$: 49 66 32 *LAB*LCH*$_{Ma}$: 49 74 25 *lab*rgb**$_{Ma}$: 1.0 0.0 0.0 *lab*olv**$_{Ma}$: 1.0 0.0 0.16

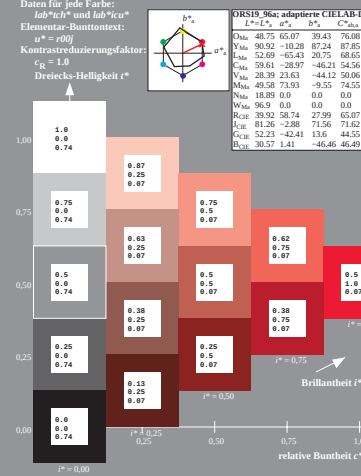

Ein und Ausgabe: Farbmetrisches Drucker-Reflektiv-System ORS19_96a für relativen CIELAB-Buntton $h^* = lab^*h^* = h_{ab}/360 = 42/360 = 0.117$ $u^* = r25j$ *lab*tch**
Daten für jede Farbe: *lab*tch** und *lab*icu**
Elementar-Bunttontext: $u^* = r25j$
Kontrastreduzierungsfaktor: $c_R = 1.0$
Daten für Maximalfarbe (Ma): *LAB*LAB*$_{Ma}$: 56 52 47 *LAB*LCH*$_{Ma}$: 56 71 42 *lab*rgb**$_{Ma}$: 1.0 0.25 0.0 *lab*olv**$_{Ma}$: 1.0 0.17 0.0

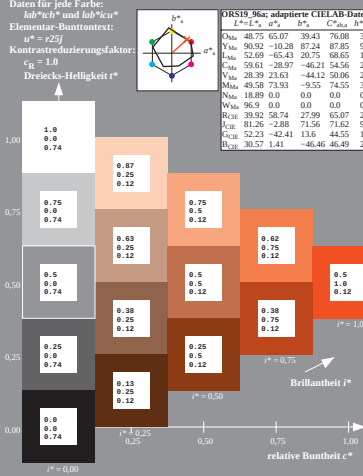

Ein und Ausgabe: Farbmetrisches Drucker-Reflektiv-System ORS19_96a für relativen CIELAB-Buntton $h^* = lab^*h^* = h_{ab}/360 = 59/360 = 0.164$ $u^* = r50j$ *lab*tch**
Daten für jede Farbe: *lab*tch** und *lab*icu**
Elementar-Bunttontext: $u^* = r50j$
Kontrastreduzierungsfaktor: $c_R = 1.0$
Daten für Maximalfarbe (Ma): *LAB*LAB*$_{Ma}$: 65 35 58 *LAB*LCH*$_{Ma}$: 65 68 59 *lab*rgb**$_{Ma}$: 1.0 0.5 0.0 *lab*olv**$_{Ma}$: 1.0 0.4 0.0

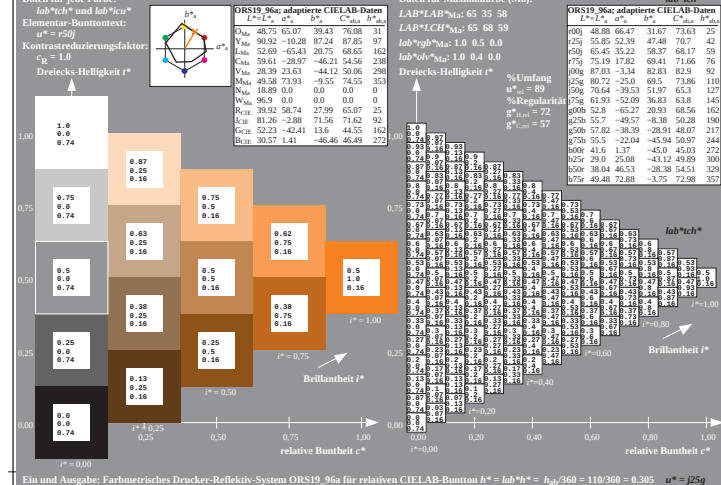

Ein und Ausgabe: Farbmetrisches Drucker-Reflektiv-System ORS19_96a für relativen CIELAB-Buntton $h^* = lab^*h^* = h_{ab}/360 = 76/360 = 0.21$ $u^* = r75j$ *lab*tch**
Daten für jede Farbe: *lab*tch** und *lab*icu**
Elementar-Bunttontext: $u^* = r75j$
Kontrastreduzierungsfaktor: $c_R = 1.0$
Daten für Maximalfarbe (Ma): *LAB*LAB*$_{Ma}$: 75 18 69 *LAB*LCH*$_{Ma}$: 75 72 76 *lab*rgb**$_{Ma}$: 1.0 0.75 0.0 *lab*olv**$_{Ma}$: 1.0 0.63 0.0

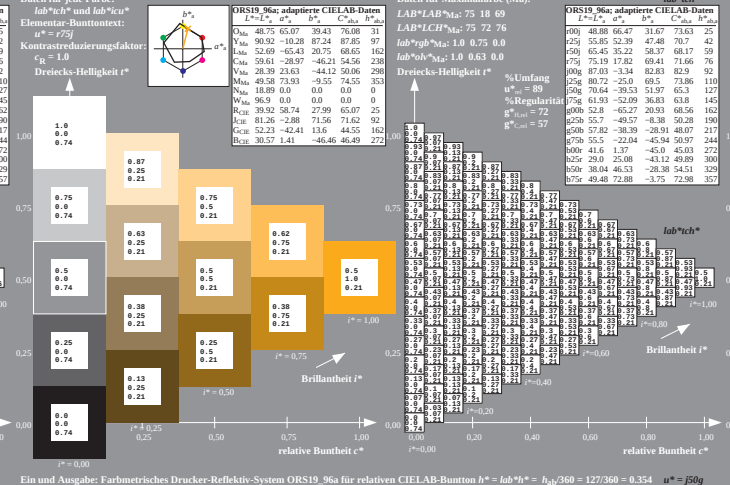

Ein und Ausgabe: Farbmetrisches Drucker-Reflektiv-System ORS19_96a für relativen CIELAB-Buntton $h^* = lab^*h^* = h_{ab}/360 = 92/360 = 0.256$ $u^* = j00g$ *lab*tch**
Daten für jede Farbe: *lab*tch** und *lab*icu**
Elementar-Bunttontext: $u^* = j00g$
Kontrastreduzierungsfaktor: $c_R = 1.0$
Daten für Maximalfarbe (Ma): *LAB*LAB*$_{Ma}$: 87 −2 83 *LAB*LCH*$_{Ma}$: 87 83 92 *lab*rgb**$_{Ma}$: 1.0 1.0 0.0 *lab*olv**$_{Ma}$: 1.0 0.91 0.0

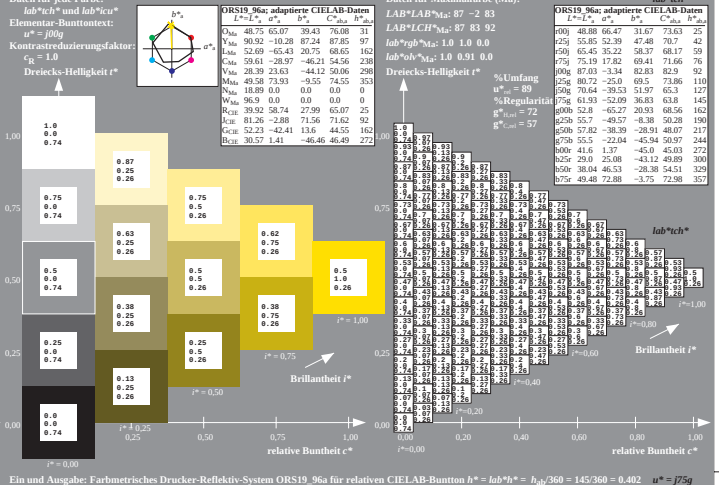

Ein und Ausgabe: Farbmetrisches Drucker-Reflektiv-System ORS19_96a für relativen CIELAB-Buntton $h^* = lab^*h^* = h_{ab}/360 = 110/360 = 0.305$ $u^* = j25g$ *lab*tch**
Daten für jede Farbe: *lab*tch** und *lab*icu**
Elementar-Bunttontext: $u^* = j25g$
Kontrastreduzierungsfaktor: $c_R = 1.0$
Daten für Maximalfarbe (Ma): *LAB*LAB*$_{Ma}$: 81 −24 69 *LAB*LCH*$_{Ma}$: 81 74 110 *lab*rgb**$_{Ma}$: 0.75 1.0 0.0 *lab*olv**$_{Ma}$: 0.73 1.0 0.0

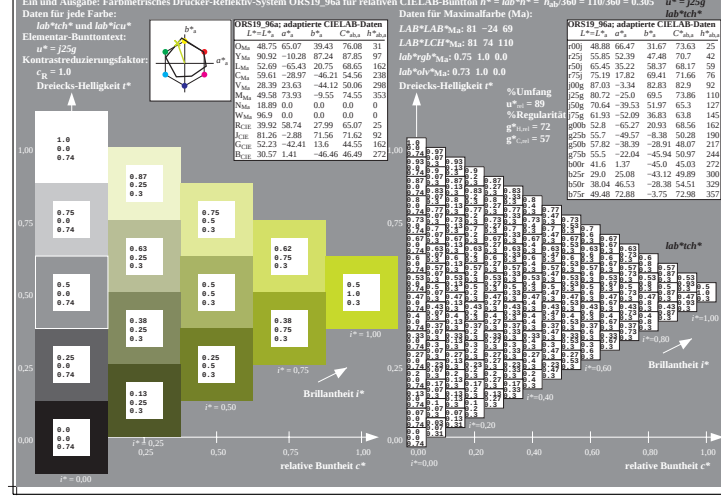

Ein und Ausgabe: Farbmetrisches Drucker-Reflektiv-System ORS19_96a für relativen CIELAB-Buntton $h^* = lab^*h^* = h_{ab}/360 = 127/360 = 0.354$ $u^* = j50g$ *lab*tch**
Daten für jede Farbe: *lab*tch** und *lab*icu**
Elementar-Bunttontext: $u^* = j50g$
Kontrastreduzierungsfaktor: $c_R = 1.0$
Daten für Maximalfarbe (Ma): *LAB*LAB*$_{Ma}$: 71 −39 52 *LAB*LCH*$_{Ma}$: 71 65 127 *lab*rgb**$_{Ma}$: 0.5 1.0 0.0 *lab*olv**$_{Ma}$: 0.47 1.0 0.0

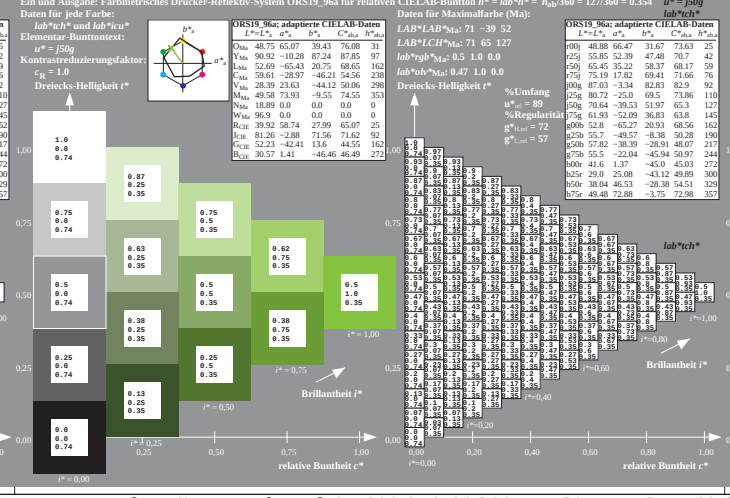

Ein und Ausgabe: Farbmetrisches Drucker-Reflektiv-System ORS19_96a für relativen CIELAB-Buntton $h^* = lab^*h^* = h_{ab}/360 = 145/360 = 0.402$ $u^* = j75g$ *lab*tch**
Daten für jede Farbe: *lab*tch** und *lab*icu**
Elementar-Bunttontext: $u^* = j75g$
Kontrastreduzierungsfaktor: $c_R = 1.0$
Daten für Maximalfarbe (Ma): *LAB*LAB*$_{Ma}$: 62 −51 37 *LAB*LCH*$_{Ma}$: 62 64 145 *lab*rgb**$_{Ma}$: 0.25 1.0 0.0 *lab*olv**$_{Ma}$: 0.24 1.0 0.0

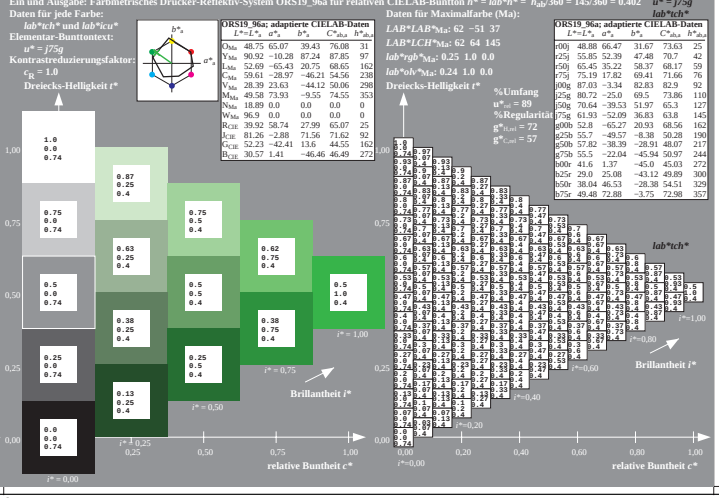

Ein und Ausgabe: Farbmetrisches Drucker-Reflektiv-System ORS19_96a für relativen CIELAB-Buntton $h^* = lab^*h^* = h_{ab}/360 = 59/360 = 0.164$ $u^* = r50j$ lab^*icu^*
Daten für jede Farbe: lab^*tch^* und lab^*icu^*
Elementar-Bunttontext: $u^* = r50j$
Kontrastreduzierungsfaktor: $c_R = 1.0$
Daten für Maximalfarbe (Ma): $LAB^*LAB^*_{Ma}$: 65 35 58 $LAB^*LCH^*_{Ma}$: 65 68 59 $lab^*rgb^*_{Ma}$: 1.0 0.5 0.0 $lab^*olv^*_{Ma}$: 1.0 0.4 0.0
Dreiecks-Helligkeit i^*
%Umfang $u^*_{rel} = 89$ %Regularität $g^*_{H,rel} = 72$ $g^*_{C,rel} = 57$
Brillantheit i^*
relative Bunttheit c^*

ORS19_96a; adaptierte CIELAB-Daten	$L^*=L^*_a$	a^*_a	b^*_a	$C^*_{ab,a}$	$h^*_{ab,a}$
O_{Ma}	48.75	65.07	39.43	76.08	31
Y_{Ma}	90.92	−10.28	87.24	87.85	97
L_{Ma}	52.69	−65.43	20.75	68.65	162
C_{Ma}	59.61	−28.97	−46.21	54.56	238
V_{Ma}	28.39	23.63	−44.12	50.06	298
M_{Ma}	49.58	73.93	−9.55	74.55	353
N_{Ma}	18.89	0.0	0.0	0.0	0
W_{Ma}	96.9	0.0	0.0	0.0	0
R_{CIE}	39.92	58.74	27.99	65.07	25
J_{CIE}	81.26	−2.88	71.56	71.62	92
G_{CIE}	52.23	−42.41	13.6	44.55	162
B_{CIE}	30.57	1.41	−46.46	46.49	272

ORS19_96a; adaptierte CIELAB-Daten	$L^*=L^*_a$	a^*_a	b^*_a	$C^*_{ab,a}$	$h^*_{ab,a}$
O_{Ma}	48.75	65.07	39.43	76.08	31
Y_{Ma}	90.92	−10.28	87.24	87.85	97
L_{Ma}	52.69	−65.43	20.75	68.65	162
C_{Ma}	59.61	−28.97	−46.21	54.56	238
V_{Ma}	28.39	23.63	−44.12	50.06	298
M_{Ma}	49.58	73.93	−9.55	74.55	353
N_{Ma}	18.89	0.0	0.0	0.0	0
W_{Ma}	96.9	0.0	0.0	0.0	0
R_{CIE}	39.92	58.74	27.99	65.07	25
J_{CIE}	81.26	−2.88	71.56	71.62	92
G_{CIE}	52.23	−42.41	13.6	44.55	162
B_{CIE}	30.57	1.41	−46.46	46.49	272

Ein und Ausgabe: Farbmetrisches Drucker-Reflektiv-System ORS19_96a für relativen CIELAB-Buntton $h^* = lab^*h^* = h_{ab}/360 = 76/360 = 0.21$ $u^* = r75j$ lab^*icu^*
Daten für jede Farbe: lab^*tch^* und lab^*icu^*
Elementar-Bunttontext: $u^* = r75j$
Kontrastreduzierungsfaktor: $c_R = 1.0$
Daten für Maximalfarbe (Ma): $LAB^*LAB^*_{Ma}$: 75 18 69 $LAB^*LCH^*_{Ma}$: 75 72 76 $lab^*rgb^*_{Ma}$: 1.0 0.75 0.0 $lab^*olv^*_{Ma}$: 1.0 0.63 0.0
Dreiecks-Helligkeit i^*
%Umfang $u^*_{rel} = 89$ %Regularität $g^*_{H,rel} = 72$ $g^*_{C,rel} = 57$
Brillantheit i^*
relative Bunttheit c^*

ORS19_96a; adaptierte CIELAB-Daten	$L^*=L^*_a$	a^*_a	b^*_a	$C^*_{ab,a}$	$h^*_{ab,a}$
O_{Ma}	48.75	65.07	39.43	76.08	31
Y_{Ma}	90.92	−10.28	87.24	87.85	97
L_{Ma}	52.69	−65.43	20.75	68.65	162
C_{Ma}	59.61	−28.97	−46.21	54.56	238
V_{Ma}	28.39	23.63	−44.12	50.06	298
M_{Ma}	49.58	73.93	−9.55	74.55	353
N_{Ma}	18.89	0.0	0.0	0.0	0
W_{Ma}	96.9	0.0	0.0	0.0	0
R_{CIE}	39.92	58.74	27.99	65.07	25
J_{CIE}	81.26	−2.88	71.56	71.62	92
G_{CIE}	52.23	−42.41	13.6	44.55	162
B_{CIE}	30.57	1.41	−46.46	46.49	272

Ein und Ausgabe: Farbmetrisches Drucker-Reflektiv-System ORS19_96a für relativen CIELAB-Buntton $h^* = lab^*h^* = h_{ab}/360 = 92/360 = 0.256$ $u^* = j00g$ lab^*icu^*
Daten für jede Farbe: lab^*tch^* und lab^*icu^*
Elementar-Bunttontext: $u^* = j00g$
Kontrastreduzierungsfaktor: $c_R = 1.0$
Daten für Maximalfarbe (Ma): $LAB^*LAB^*_{Ma}$: 87 −2 83 $LAB^*LCH^*_{Ma}$: 87 83 92 $lab^*rgb^*_{Ma}$: 1.0 1.0 0.0 $lab^*olv^*_{Ma}$: 1.0 0.91 0.0
Dreiecks-Helligkeit i^*
%Umfang $u^*_{rel} = 89$ %Regularität $g^*_{H,rel} = 72$ $g^*_{C,rel} = 57$
Brillantheit i^*
relative Bunttheit c^*

ORS19_96a; adaptierte CIELAB-Daten	$L^*=L^*_a$	a^*_a	b^*_a	$C^*_{ab,a}$	$h^*_{ab,a}$
O_{Ma}	48.75	65.07	39.43	76.08	31
Y_{Ma}	90.92	−10.28	87.24	87.85	97
L_{Ma}	52.69	−65.43	20.75	68.65	162
C_{Ma}	59.61	−28.97	−46.21	54.56	238
V_{Ma}	28.39	23.63	−44.12	50.06	298
M_{Ma}	49.58	73.93	−9.55	74.55	353
N_{Ma}	18.89	0.0	0.0	0.0	0
W_{Ma}	96.9	0.0	0.0	0.0	0
R_{CIE}	39.92	58.74	27.99	65.07	25
J_{CIE}	81.26	−2.88	71.56	71.62	92
G_{CIE}	52.23	−42.41	13.6	44.55	162
B_{CIE}	30.57	1.41	−46.46	46.49	272

Ein und Ausgabe: Farbmetrisches Drucker-Reflektiv-System ORS19_96a für relativen CIELAB-Buntton $h^* = lab^*h^* = h_{ab}/360 = 110/360 = 0.305$ $u^* = j25g$ lab^*icu^*
Daten für jede Farbe: lab^*tch^* und lab^*icu^*
Elementar-Bunttontext: $u^* = j25g$
Kontrastreduzierungsfaktor: $c_R = 1.0$
Daten für Maximalfarbe (Ma): $LAB^*LAB^*_{Ma}$: 81 −24 69 $LAB^*LCH^*_{Ma}$: 81 74 110 $lab^*rgb^*_{Ma}$: 0.5 1.0 0.0 $lab^*olv^*_{Ma}$: 0.73 1.0 0.0
Dreiecks-Helligkeit i^*
%Umfang $u^*_{rel} = 89$ %Regularität $g^*_{H,rel} = 72$ $g^*_{C,rel} = 57$
Brillantheit i^*
relative Bunttheit c^*

ORS19_96a; adaptierte CIELAB-Daten	$L^*=L^*_a$	a^*_a	b^*_a	$C^*_{ab,a}$	$h^*_{ab,a}$
O_{Ma}	48.75	65.07	39.43	76.08	31
Y_{Ma}	90.92	−10.28	87.24	87.85	97
L_{Ma}	52.69	−65.43	20.75	68.65	162
C_{Ma}	59.61	−28.97	−46.21	54.56	238
V_{Ma}	28.39	23.63	−44.12	50.06	298
M_{Ma}	49.58	73.93	−9.55	74.55	353
N_{Ma}	18.89	0.0	0.0	0.0	0
W_{Ma}	96.9	0.0	0.0	0.0	0
R_{CIE}	39.92	58.74	27.99	65.07	25
J_{CIE}	81.26	−2.88	71.56	71.62	92
G_{CIE}	52.23	−42.41	13.6	44.55	162
B_{CIE}	30.57	1.41	−46.46	46.49	272

Ein und Ausgabe: Farbmetrisches Drucker-Reflektiv-System ORS19_96a für relativen CIELAB-Buntton $h^* = lab^*h^* = h_{ab}/360 = 127/360 = 0.354$ $u^* = j50g$ lab^*icu^*
Daten für jede Farbe: lab^*tch^* und lab^*icu^*
Elementar-Bunttontext: $u^* = j50g$
Kontrastreduzierungsfaktor: $c_R = 1.0$
Daten für Maximalfarbe (Ma): $LAB^*LAB^*_{Ma}$: 71 −39 52 $LAB^*LCH^*_{Ma}$: 71 65 127 $lab^*rgb^*_{Ma}$: 0.5 1.0 0.0 $lab^*olv^*_{Ma}$: 0.47 1.0 0.0
Dreiecks-Helligkeit i^*
%Umfang $u^*_{rel} = 89$ %Regularität $g^*_{H,rel} = 72$ $g^*_{C,rel} = 57$
Brillantheit i^*
relative Bunttheit c^*

ORS19_96a; adaptierte CIELAB-Daten	$L^*=L^*_a$	a^*_a	b^*_a	$C^*_{ab,a}$	$h^*_{ab,a}$
O_{Ma}	48.75	65.07	39.43	76.08	31
Y_{Ma}	90.92	−10.28	87.24	87.85	97
L_{Ma}	52.69	−65.43	20.75	68.65	162
C_{Ma}	59.61	−28.97	−46.21	54.56	238
V_{Ma}	28.39	23.63	−44.12	50.06	298
M_{Ma}	49.58	73.93	−9.55	74.55	353
N_{Ma}	18.89	0.0	0.0	0.0	0
W_{Ma}	96.9	0.0	0.0	0.0	0
R_{CIE}	39.92	58.74	27.99	65.07	25
J_{CIE}	81.26	−2.88	71.56	71.62	92
G_{CIE}	52.23	−42.41	13.6	44.55	162
B_{CIE}	30.57	1.41	−46.46	46.49	272

Ein und Ausgabe: Farbmetrisches Drucker-Reflektiv-System ORS19_96a für relativen CIELAB-Buntton $h^* = lab^*h^* = h_{ab}/360 = 145/360 = 0.402$ $u^* = j75g$ lab^*icu^*
Daten für jede Farbe: lab^*tch^* und lab^*icu^*
Elementar-Bunttontext: $u^* = j75g$
Kontrastreduzierungsfaktor: $c_R = 1.0$
Daten für Maximalfarbe (Ma): $LAB^*LAB^*_{Ma}$: 62 −51 37 $LAB^*LCH^*_{Ma}$: 62 64 145 $lab^*rgb^*_{Ma}$: 0.25 1.0 0.0 $lab^*olv^*_{Ma}$: 0.24 1.0 0.0
Dreiecks-Helligkeit i^*
%Umfang $u^*_{rel} = 89$ %Regularität $g^*_{H,rel} = 72$ $g^*_{C,rel} = 57$
Brillantheit i^*
relative Bunttheit c^*

ORS19_96a; adaptierte CIELAB-Daten	$L^*=L^*_a$	a^*_a	b^*_a	$C^*_{ab,a}$	$h^*_{ab,a}$
O_{Ma}	48.75	65.07	39.43	76.08	31
Y_{Ma}	90.92	−10.28	87.24	87.85	97
L_{Ma}	52.69	−65.43	20.75	68.65	162
C_{Ma}	59.61	−28.97	−46.21	54.56	238
V_{Ma}	28.39	23.63	−44.12	50.06	298
M_{Ma}	49.58	73.93	−9.55	74.55	353
N_{Ma}	18.89	0.0	0.0	0.0	0
W_{Ma}	96.9	0.0	0.0	0.0	0
R_{CIE}	39.92	58.74	27.99	65.07	25
J_{CIE}	81.26	−2.88	71.56	71.62	92
G_{CIE}	52.23	−42.41	13.6	44.55	162
B_{CIE}	30.57	1.41	−46.46	46.49	272

Ein und Ausgabe: Farbmetrisches Drucker-Reflektiv-System ORS19_96a
Daten für jede Farbe: *lab*tch** und *lab*icu**
Elementar-Bunttontext: $u^* = 16$ Bunttöne *r00j, r25j, ..., b75r*
Kontrastreduzierungsfaktor: $c_R = 1.0$

ORS19_96a; adaptierte CIELAB-Daten	$L^*=L^*$	a^*	b^*	C^*_{ab}	h^*_{ab}
r00j	48.88	66.47	31.67	73.63	25
r25j	55.85	52.39	47.48	70.7	42
r50j	65.45	35.22	58.37	68.17	59
r75j	75.19	17.82	69.41	71.66	76
j00g	87.03	−3.34	82.83	82.9	92
j25g	80.72	−25.0	69.5	73.86	110
j50g	70.64	−39.53	51.97	65.3	127
j75g	61.93	−52.09	36.83	63.8	145
g00b	52.8	−65.27	20.93	68.56	162
g25b	55.7	−49.57	−8.38	50.28	190
g50b	57.82	−38.39	−28.91	48.07	217
g75b	55.5	−22.04	−45.94	50.97	244
b00r	41.6	1.37	−45.0	45.03	272
b25r	29.0	25.08	−43.12	49.89	300
b50r	38.04	46.53	−28.38	54.51	329
b75r	49.48	72.88	−3.75	72.98	357

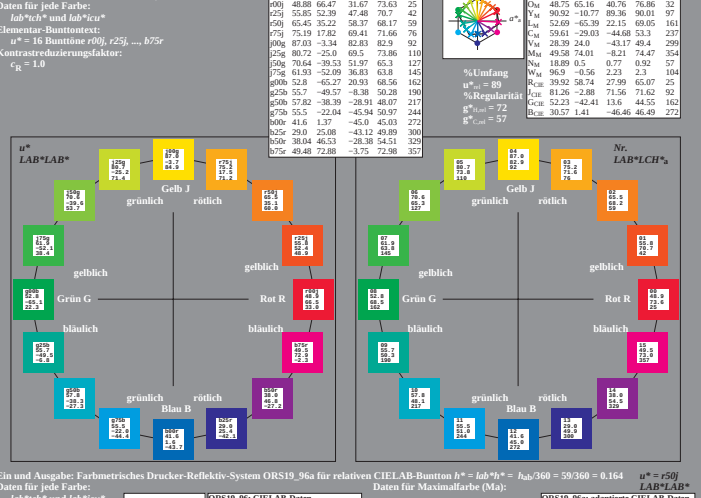

Ein und Ausgabe: Farbmetrisches Drucker-Reflektiv-System ORS19_96a für relativen CIELAB-Buntton $h^* = lab^*h^* = h_{ab}/360 = 25/360 = 0.071$ $u^* = r00j$
Daten für jede Farbe: *lab*tch** und *lab*icu**
Elementar-Bunttontext: $u^* = r00j$
Kontrastreduzierungsfaktor: $c_R = 1.0$
Daten für Maximalfarbe (Ma):
*LAB*LAB**$_{Ma}$: 49 66 32
*LAB*LCH*$_{Ma}$*: 49 74 25
*lab*rgb**$_{Ma}$: 1.0 0.0 0.0
*lab*olv**$_{Ma}$: 1.0 0.0 0.16

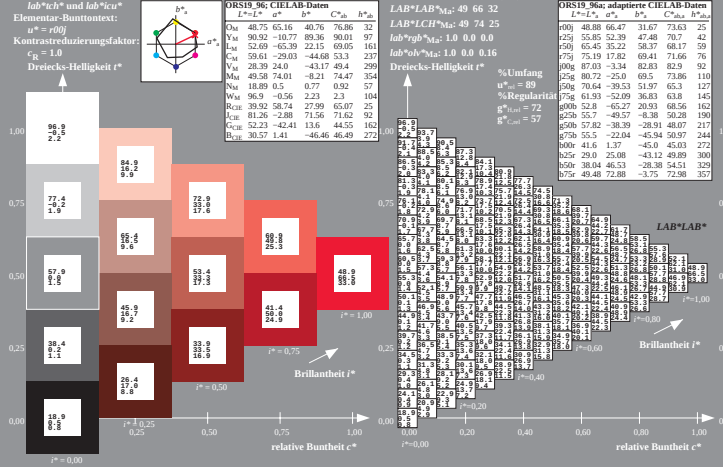

Ein und Ausgabe: Farbmetrisches Drucker-Reflektiv-System ORS19_96a für relativen CIELAB-Buntton $h^* = lab^*h^* = h_{ab}/360 = 42/360 = 0.117$ $u^* = r25j$
Daten für jede Farbe: *lab*tch** und *lab*icu**
Elementar-Bunttontext: $u^* = r25j$
Kontrastreduzierungsfaktor: $c_R = 1.0$
Daten für Maximalfarbe (Ma):
*LAB*LAB**$_{Ma}$: 56 52 47
*LAB*LCH*$_{Ma}$*: 56 71 42
*lab*rgb**$_{Ma}$: 1.0 0.25 0.0
*lab*olv**$_{Ma}$: 1.0 0.17 0.0

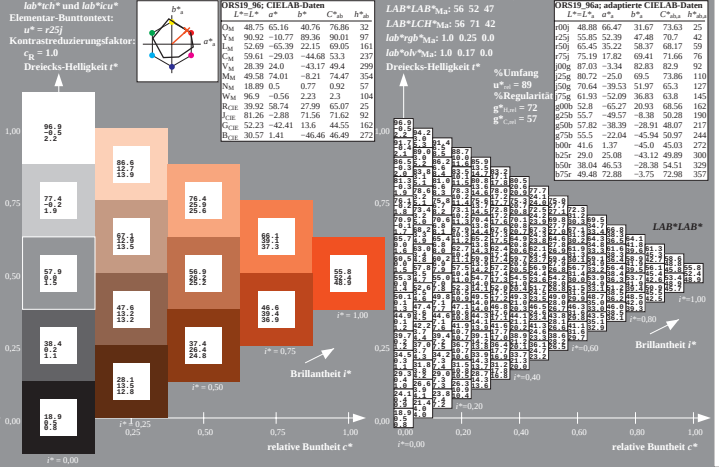

Ein und Ausgabe: Farbmetrisches Drucker-Reflektiv-System ORS19_96a für relativen CIELAB-Buntton $h^* = lab^*h^* = h_{ab}/360 = 59/360 = 0.164$ $u^* = r50j$
Daten für jede Farbe: *lab*tch** und *lab*icu**
Elementar-Bunttontext: $u^* = r50j$
Kontrastreduzierungsfaktor: $c_R = 1.0$
Daten für Maximalfarbe (Ma):
*LAB*LAB**$_{Ma}$: 65 35 58
*LAB*LCH*$_{Ma}$*: 65 68 59
*lab*rgb**$_{Ma}$: 1.0 0.5 0.0
*lab*olv**$_{Ma}$: 1.0 0.4 0.0

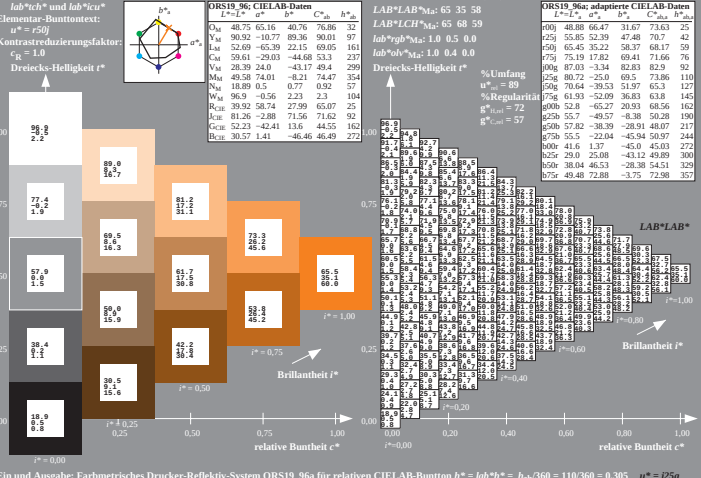

Ein und Ausgabe: Farbmetrisches Drucker-Reflektiv-System ORS19_96a für relativen CIELAB-Buntton $h^* = lab^*h^* = h_{ab}/360 = 76/360 = 0.21$ $u^* = r75j$
Daten für jede Farbe: *lab*tch** und *lab*icu**
Elementar-Bunttontext: $u^* = r75j$
Kontrastreduzierungsfaktor: $c_R = 1.0$
Daten für Maximalfarbe (Ma):
*LAB*LAB**$_{Ma}$: 75 18 69
*LAB*LCH*$_{Ma}$*: 75 72 76
*lab*rgb**$_{Ma}$: 1.0 0.75 0.0
*lab*olv**$_{Ma}$: 1.0 0.63 0.0

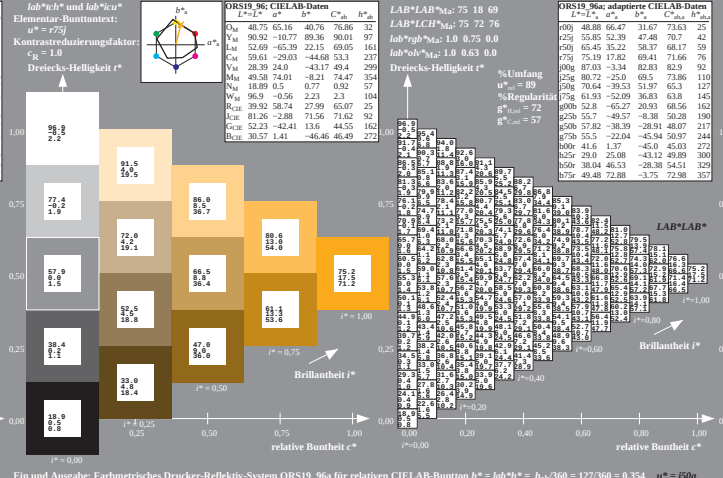

Ein und Ausgabe: Farbmetrisches Drucker-Reflektiv-System ORS19_96a für relativen CIELAB-Buntton $h^* = lab^*h^* = h_{ab}/360 = 92/360 = 0.256$ $u^* = j00g$
Daten für jede Farbe: *lab*tch** und *lab*icu**
Elementar-Bunttontext: $u^* = j00g$
Kontrastreduzierungsfaktor: $c_R = 1.0$
Daten für Maximalfarbe (Ma):
*LAB*LAB**$_{Ma}$: 87 −2 83
*LAB*LCH*$_{Ma}$*: 87 83 92
*lab*rgb**$_{Ma}$: 1.0 1.0 0.0
*lab*olv**$_{Ma}$: 1.0 0.91 0.0

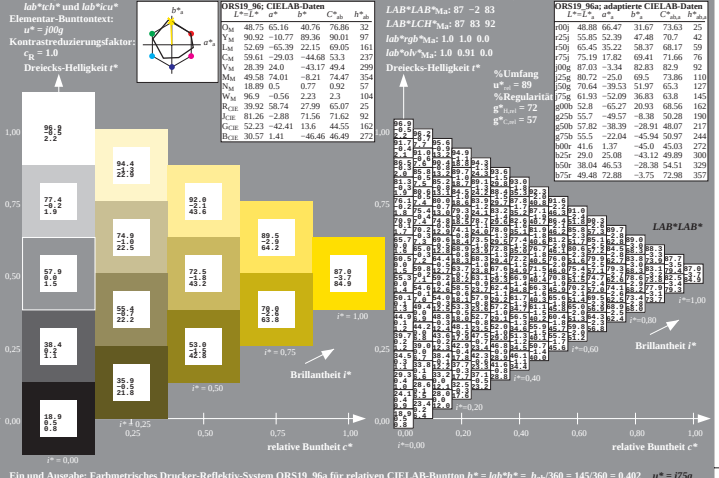

Ein und Ausgabe: Farbmetrisches Drucker-Reflektiv-System ORS19_96a für relativen CIELAB-Buntton $h^* = lab^*h^* = h_{ab}/360 = 110/360 = 0.305$ $u^* = j25g$
Daten für jede Farbe: *lab*tch** und *lab*icu**
Elementar-Bunttontext: $u^* = j25g$
Kontrastreduzierungsfaktor: $c_R = 1.0$
Daten für Maximalfarbe (Ma):
*LAB*LAB**$_{Ma}$: 81 −24 69
*LAB*LCH*$_{Ma}$*: 81 74 110
*lab*rgb**$_{Ma}$: 0.75 1.0 0.0
*lab*olv**$_{Ma}$: 0.73 1.0 0.0

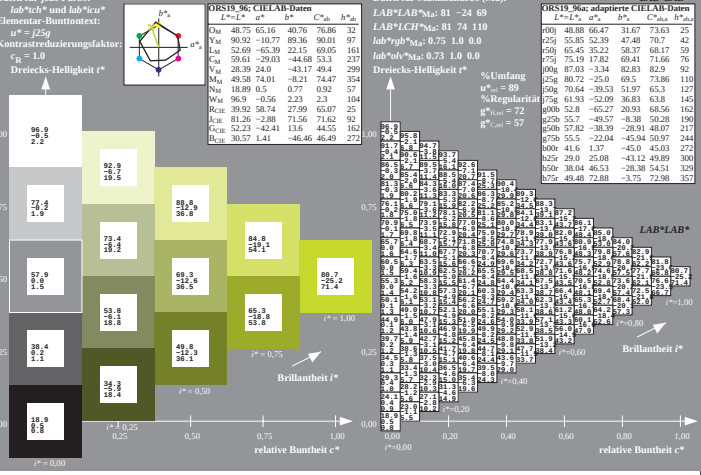

Ein und Ausgabe: Farbmetrisches Drucker-Reflektiv-System ORS19_96a für relativen CIELAB-Buntton $h^* = lab^*h^* = h_{ab}/360 = 127/360 = 0.354$ $u^* = j50g$
Daten für jede Farbe: *lab*tch** und *lab*icu**
Elementar-Bunttontext: $u^* = j50g$
Kontrastreduzierungsfaktor: $c_R = 1.0$
Daten für Maximalfarbe (Ma):
*LAB*LAB**$_{Ma}$: 71 −39 52
*LAB*LCH*$_{Ma}$*: 71 65 127
*lab*rgb**$_{Ma}$: 0.5 1.0 0.0
*lab*olv**$_{Ma}$: 0.47 1.0 0.0

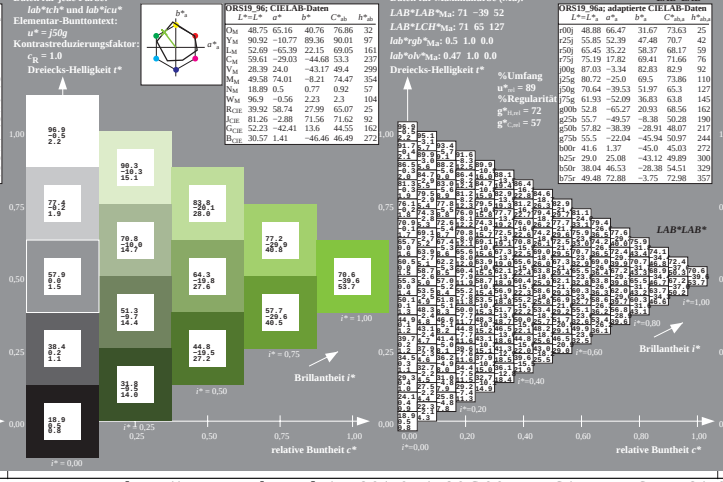

Ein und Ausgabe: Farbmetrisches Drucker-Reflektiv-System ORS19_96a für relativen CIELAB-Buntton $h^* = lab^*h^* = h_{ab}/360 = 145/360 = 0.402$ $u^* = j75g$
Daten für jede Farbe: *lab*tch** und *lab*icu**
Elementar-Bunttontext: $u^* = j75g$
Kontrastreduzierungsfaktor: $c_R = 1.0$
Daten für Maximalfarbe (Ma):
*LAB*LAB**$_{Ma}$: 62 −51 47
*LAB*LCH*$_{Ma}$*: 62 64 145
*lab*rgb**$_{Ma}$: 0.25 1.0 0.0
*lab*olv**$_{Ma}$: 0.24 1.0 0.0

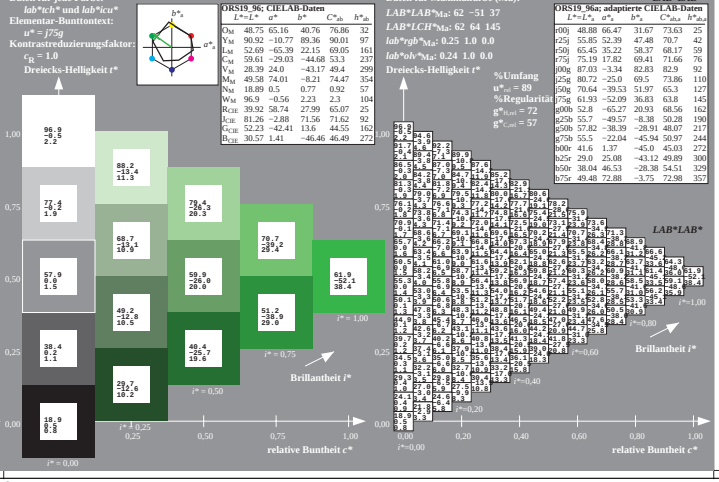

Ein und Ausgabe: Farbmetrisches Drucker-Reflektiv-System ORS19_96a für relativen CIELAB-Buntton $h^* = lab^*b^* = h_{ab}/360 = 25/360 = 0.071$ $u^* = r00j$ $lab^*rgb'^*$

Daten für jede Farbe: lab^*tch^* und lab^*icu^*
Elementar-Buntton: $u^* = r00j$
Kontrastreduzierungsfaktor: $c_R = 1.0$
Daten für Maximalfarbe (Ma): $LAB^*LAB^*_{Ma}$: 49 66 32 $LAB^*LCH^*_{Ma}$: 49 74 25 $lab^*rgb^*_{Ma}$: 1.0 0.0 0.0 $lab^*olv^*_{Ma}$: 1.0 0.0 0.16

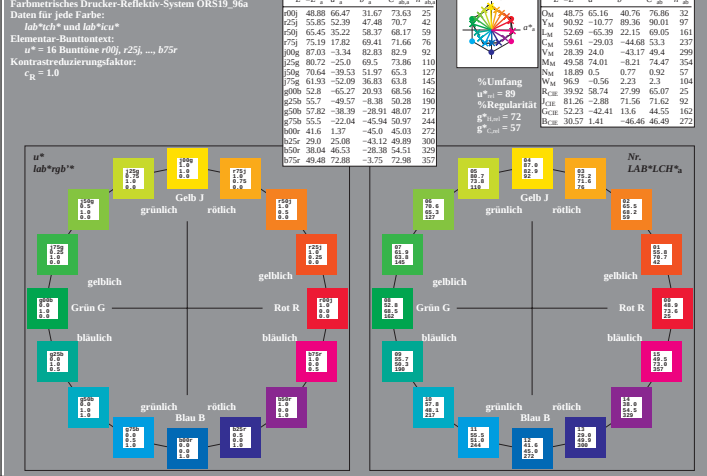

Ein und Ausgabe: Farbmetrisches Drucker-Reflektiv-System ORS19_96a für relativen CIELAB-Buntton $h^* = lab^*b^* = h_{ab}/360 = 42/360 = 0.117$ $u^* = r25j$ $lab^*rgb'^*$

Daten für jede Farbe: lab^*tch^* und lab^*icu^*
Elementar-Buntton: $u^* = r25j$
Kontrastreduzierungsfaktor: $c_R = 1.0$
Daten für Maximalfarbe (Ma): $LAB^*LAB^*_{Ma}$: 56 52 47 $LAB^*LCH^*_{Ma}$: 56 71 42 $lab^*rgb^*_{Ma}$: 1.0 0.25 0.0 $lab^*olv^*_{Ma}$: 1.0 0.17 0.0

Ein und Ausgabe: Farbmetrisches Drucker-Reflektiv-System ORS19_96a für relativen CIELAB-Buntton $h^* = lab^*b^* = h_{ab}/360 = 59/360 = 0.164$ $u^* = r50j$ $lab^*rgb'^*$

Daten für jede Farbe: lab^*tch^* und lab^*icu^*
Elementar-Buntton: $u^* = r50j$
Kontrastreduzierungsfaktor: $c_R = 1.0$
Daten für Maximalfarbe (Ma): $LAB^*LAB^*_{Ma}$: 65 35 58 $LAB^*LCH^*_{Ma}$: 65 68 59 $lab^*rgb^*_{Ma}$: 1.0 0.5 0.0 $lab^*olv^*_{Ma}$: 1.0 0.4 0.0

Ein und Ausgabe: Farbmetrisches Drucker-Reflektiv-System ORS19_96a für relativen CIELAB-Buntton $h^* = lab^*b^* = h_{ab}/360 = 76/360 = 0.21$ $u^* = r75j$ $lab^*rgb'^*$

Daten für jede Farbe: lab^*tch^* und lab^*icu^*
Elementar-Buntton: $u^* = r75j$
Kontrastreduzierungsfaktor: $c_R = 1.0$
Daten für Maximalfarbe (Ma): $LAB^*LAB^*_{Ma}$: 75 18 69 $LAB^*LCH^*_{Ma}$: 75 72 76 $lab^*rgb^*_{Ma}$: 1.0 0.75 0.0 $lab^*olv^*_{Ma}$: 1.0 0.63 0.0

Ein und Ausgabe: Farbmetrisches Drucker-Reflektiv-System ORS19_96a für relativen CIELAB-Buntton $h^* = lab^*b^* = h_{ab}/360 = 92/360 = 0.256$ $u^* = j00g$ $lab^*rgb'^*$

Daten für jede Farbe: lab^*tch^* und lab^*icu^*
Elementar-Buntton: $u^* = j00g$
Kontrastreduzierungsfaktor: $c_R = 1.0$
Daten für Maximalfarbe (Ma): $LAB^*LAB^*_{Ma}$: 87 −2 83 $LAB^*LCH^*_{Ma}$: 87 83 92 $lab^*rgb^*_{Ma}$: 1.0 1.0 0.0 $lab^*olv^*_{Ma}$: 1.0 0.91 0.0

Ein und Ausgabe: Farbmetrisches Drucker-Reflektiv-System ORS19_96a für relativen CIELAB-Buntton $h^* = lab^*b^* = h_{ab}/360 = 110/360 = 0.305$ $u^* = j25g$ $lab^*rgb'^*$

Daten für jede Farbe: lab^*tch^* und lab^*icu^*
Elementar-Buntton: $u^* = j25g$
Kontrastreduzierungsfaktor: $c_R = 1.0$
Daten für Maximalfarbe (Ma): $LAB^*LAB^*_{Ma}$: 81 −24 69 $LAB^*LCH^*_{Ma}$: 81 74 110 $lab^*rgb^*_{Ma}$: 0.75 1.0 0.0 $lab^*olv^*_{Ma}$: 0.73 1.0 0.0

Ein und Ausgabe: Farbmetrisches Drucker-Reflektiv-System ORS19_96a für relativen CIELAB-Buntton $h^* = lab^*b^* = h_{ab}/360 = 127/360 = 0.354$ $u^* = j50g$ $lab^*rgb'^*$

Daten für jede Farbe: lab^*tch^* und lab^*icu^*
Elementar-Buntton: $u^* = j50g$
Kontrastreduzierungsfaktor: $c_R = 1.0$
Daten für Maximalfarbe (Ma): $LAB^*LAB^*_{Ma}$: 71 −39 52 $LAB^*LCH^*_{Ma}$: 71 65 127 $lab^*rgb^*_{Ma}$: 0.5 1.0 0.0 $lab^*olv^*_{Ma}$: 0.47 1.0 0.0

Ein und Ausgabe: Farbmetrisches Drucker-Reflektiv-System ORS19_96a für relativen CIELAB-Buntton $h^* = lab^*b^* = h_{ab}/360 = 145/360 = 0.402$ $u^* = j75g$ $lab^*rgb'^*$

Daten für jede Farbe: lab^*tch^* und lab^*icu^*
Elementar-Buntton: $u^* = j75g$
Kontrastreduzierungsfaktor: $c_R = 1.0$
Daten für Maximalfarbe (Ma): $LAB^*LAB^*_{Ma}$: 62 −51 37 $LAB^*LCH^*_{Ma}$: 62 64 145 $lab^*rgb^*_{Ma}$: 0.25 1.0 0.0 $lab^*olv^*_{Ma}$: 0.24 1.0 0.0

Ein und Ausgabe: Farbmetrisches Drucker-Reflektiv-System ORS19_96a
Daten für jede Farbe: *lab*tch** und *lab*icu**
Elementar-Bunttontext: $u^* = 16$ Bunttöne *r00j, r25j, ..., b75r*
Kontrastreduzierungsfaktor: $c_R = 1.0$

ORS19_96a; adaptierte CIELAB-Daten	$L^*=L^*_a$	a^*_a	b^*_a	$C^*_{ab,a}$	$h^*_{ab,a}$
r00j	48.88	66.47	31.67	73.63	25
r25j	55.85	52.39	47.48	70.7	42
r50j	65.45	35.22	58.37	68.17	59
r75j	75.19	17.82	69.41	71.66	76
j00g	87.03	−3.34	82.83	82.9	92
j25g	80.72	−25.0	69.5	73.86	110
j50g	70.64	−39.53	51.97	65.3	127
j75g	61.93	−52.09	36.83	63.8	145
g00b	52.8	−65.27	20.93	68.56	162
g25b	55.7	−49.57	−8.38	50.28	190
g50b	57.82	−38.39	−28.91	48.07	217
g75b	55.5	−22.04	−45.94	50.97	244
b00r	41.6	1.37	−45.0	45.03	272
b25r	29.0	25.08	−43.12	49.89	300
b50r	38.04	46.53	−28.38	54.51	329
b75r	49.48	72.88	−3.75	72.98	357

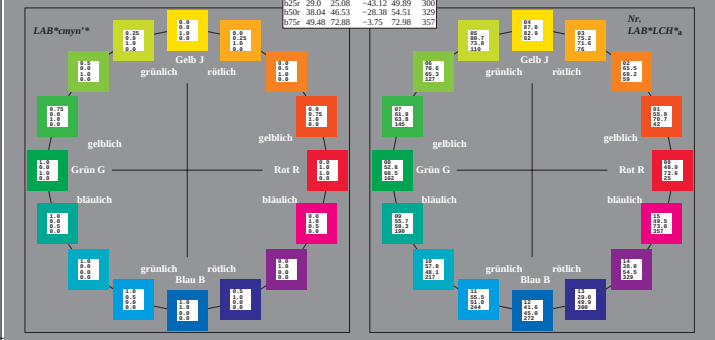

ORS19_96a; CIELAB-Daten	$L^*=L^*$	a^*	b^*	C^*_{ab}	h^*_{ab}
O_{M}	48.75	65.16	40.76	76.86	32
Y_{M}	90.92	−10.77	89.36	90.01	97
L_{M}	52.69	−65.39	22.15	69.05	161
C_{M}	59.61	−29.03	−44.68	53.3	237
V_{M}	28.39	24.0	−43.17	49.4	299
M_{M}	49.58	74.01	−8.21	74.47	354
N_{M}	18.89	0.5	0.77	0.92	57
W_{M}	96.9	−0.56	2.23	2.3	104
R_{CIE}	39.92	58.74	27.99	65.07	25
J_{CIE}	81.26	−2.88	71.56	71.62	92
G_{CIE}	52.23	−42.41	13.6	44.55	162
B_{CIE}	30.57	1.41	−46.46	46.49	272

%Umfang $u^*_{col} = 89$
%Regularität $g^*_{H,col} = 72$
$g^*_{C,col} = 57$

Ein und Ausgabe: Farbmetrisches Drucker-Reflektiv-System ORS19_96a für relativen CIELAB-Buntton $h^* = lab^*h^* = h_{ab}/360 = 25/360 = 0.071$ $u^* = r00j$
Daten für jede Farbe: *lab*tch** und *lab*icu**
Elementar-Bunttontext: $u^* = r00j$
Kontrastreduzierungsfaktor: $c_R = 1.0$
Dreiecks-Helligkeit i^*

Daten für Maximalfarbe (Ma):
*LAB*LAB**$_{Ma}$: 49 66 32
*LAB*LCH**$_{Ma}$: 49 74 25
*lab*rgb**$_{Ma}$: 1.0 0.0 0.0
*lab*olv**$_{Ma}$: 1.0 0.0 0.16

Dreiecks-Helligkeit i^*

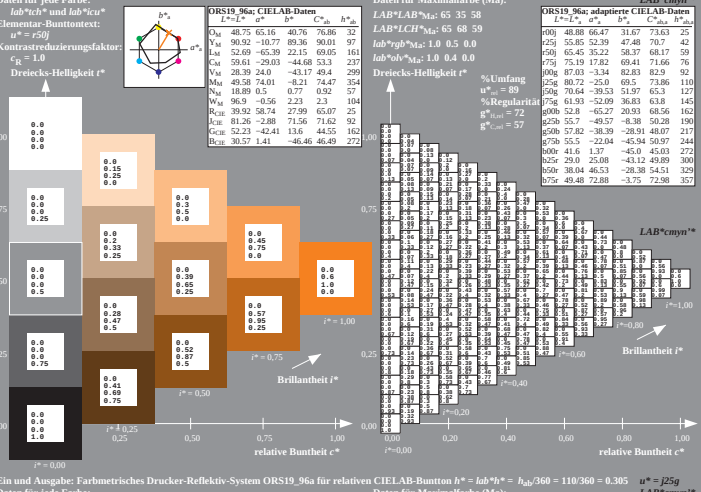

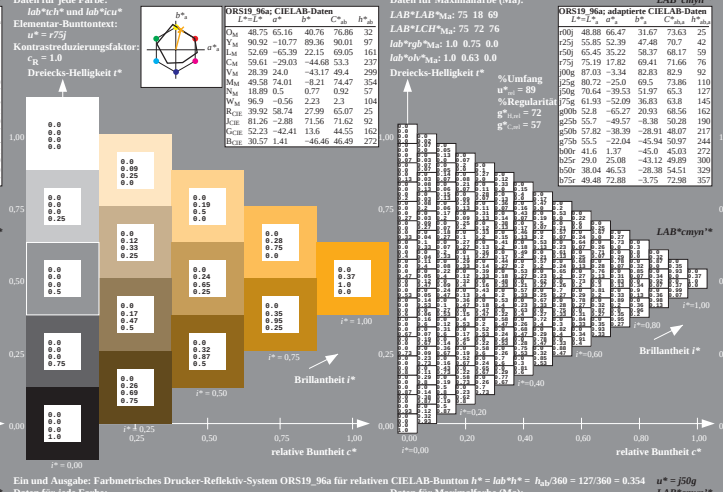

Ein und Ausgabe: Farbmetrisches Drucker-Reflektiv-System ORS19_96a für relativen CIELAB-Buntton $h^* = lab^*h^* = h_{ab}/360 = 42/360 = 0.117$ $u^* = r25j$
Daten für jede Farbe: *lab*tch** und *lab*icu**
Elementar-Bunttontext: $u^* = r25j$
Kontrastreduzierungsfaktor: $c_R = 1.0$
Dreiecks-Helligkeit i^*

Daten für Maximalfarbe (Ma):
*LAB*LAB**$_{Ma}$: 56 52 47
*LAB*LCH**$_{Ma}$: 56 71 42
*lab*rgb**$_{Ma}$: 1.0 0.25 0.0
*lab*olv**$_{Ma}$: 1.0 0.17 0.0

Dreiecks-Helligkeit i^*

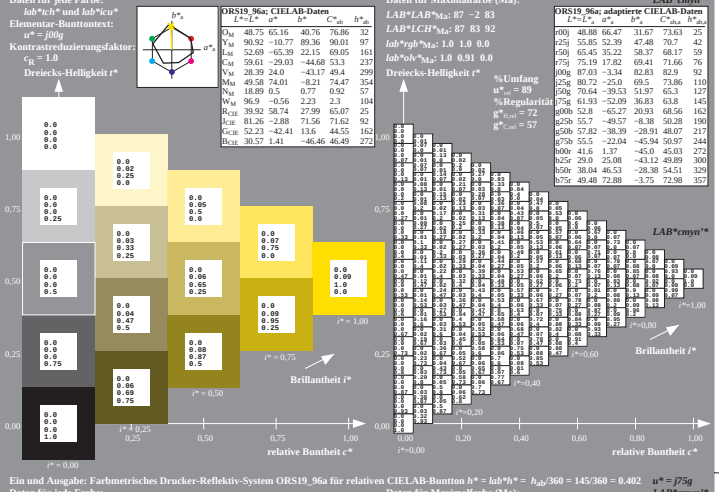

Ein und Ausgabe: Farbmetrisches Drucker-Reflektiv-System ORS19_96a für relativen CIELAB-Buntton $h^* = lab^*h^* = h_{ab}/360 = 59/360 = 0.164$ $u^* = r50j$
Daten für jede Farbe: *lab*tch** und *lab*icu**
Elementar-Bunttontext: $u^* = r50j$
Kontrastreduzierungsfaktor: $c_R = 1.0$
Dreiecks-Helligkeit i^*

Daten für Maximalfarbe (Ma):
*LAB*LAB**$_{Ma}$: 65 35 58
*LAB*LCH**$_{Ma}$: 65 68 59
*lab*rgb**$_{Ma}$: 1.0 0.5 0.0
*lab*olv**$_{Ma}$: 1.0 0.4 0.0

Dreiecks-Helligkeit i^*

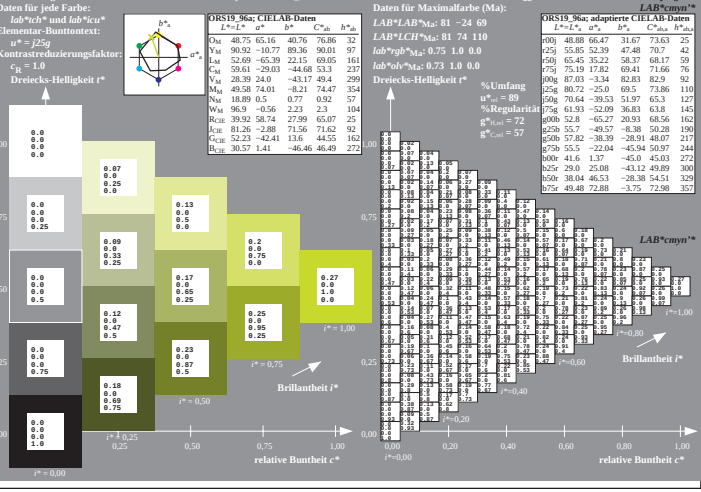

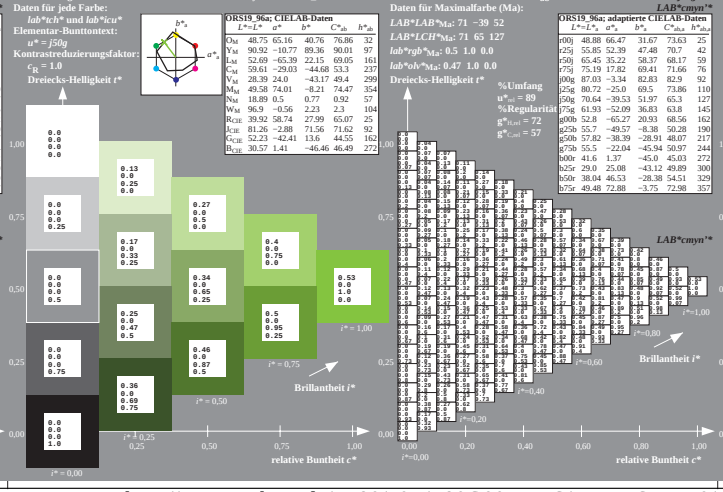

Ein und Ausgabe: Farbmetrisches Drucker-Reflektiv-System ORS19_96a für relativen CIELAB-Buntton $h^* = lab^*h^* = h_{ab}/360 = 76/360 = 0.21$ $u^* = r75j$
Daten für jede Farbe: *lab*tch** und *lab*icu**
Elementar-Bunttontext: $u^* = r75j$
Kontrastreduzierungsfaktor: $c_R = 1.0$
Dreiecks-Helligkeit i^*

Daten für Maximalfarbe (Ma):
*LAB*LAB**$_{Ma}$: 75 18 69
*LAB*LCH**$_{Ma}$: 75 72 76
*lab*rgb**$_{Ma}$: 1.0 0.75 0.0
*lab*olv**$_{Ma}$: 1.0 0.63 0.0

Dreiecks-Helligkeit i^*

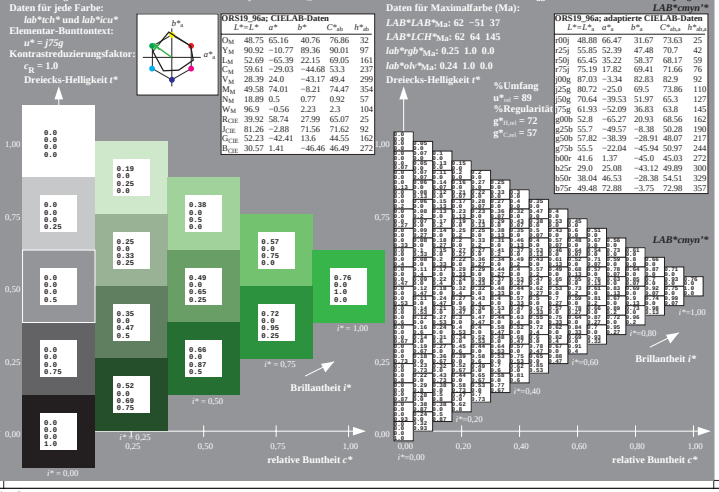

Ein und Ausgabe: Farbmetrisches Drucker-Reflektiv-System ORS19_96a für relativen CIELAB-Buntton $h^* = lab^*h^* = h_{ab}/360 = 92/360 = 0.256$ $u^* = j00g$
Daten für jede Farbe: *lab*tch** und *lab*icu**
Elementar-Bunttontext: $u^* = j00g$
Kontrastreduzierungsfaktor: $c_R = 1.0$
Dreiecks-Helligkeit i^*

Daten für Maximalfarbe (Ma):
*LAB*LAB**$_{Ma}$: 87 −2 83
*LAB*LCH**$_{Ma}$: 87 83 92
*lab*rgb**$_{Ma}$: 1.0 1.0 0.0
*lab*olv**$_{Ma}$: 1.0 0.91 0.0

Dreiecks-Helligkeit i^*

Ein und Ausgabe: Farbmetrisches Drucker-Reflektiv-System ORS19_96a für relativen CIELAB-Buntton $h^* = lab^*h^* = h_{ab}/360 = 110/360 = 0.305$ $u^* = j25g$
Daten für jede Farbe: *lab*tch** und *lab*icu**
Elementar-Bunttontext: $u^* = j25g$
Kontrastreduzierungsfaktor: $c_R = 1.0$
Dreiecks-Helligkeit i^*

Daten für Maximalfarbe (Ma):
*LAB*LAB**$_{Ma}$: 81 −24 69
*LAB*LCH**$_{Ma}$: 81 74 110
*lab*rgb**$_{Ma}$: 0.75 1.0 0.0
*lab*olv**$_{Ma}$: 0.73 1.0 0.0

Dreiecks-Helligkeit i^*

Ein und Ausgabe: Farbmetrisches Drucker-Reflektiv-System ORS19_96a für relativen CIELAB-Buntton $h^* = lab^*h^* = h_{ab}/360 = 127/360 = 0.354$ $u^* = j50g$
Daten für jede Farbe: *lab*tch** und *lab*icu**
Elementar-Bunttontext: $u^* = j50g$
Kontrastreduzierungsfaktor: $c_R = 1.0$
Dreiecks-Helligkeit i^*

Daten für Maximalfarbe (Ma):
*LAB*LAB**$_{Ma}$: 71 −39 52
*LAB*LCH**$_{Ma}$: 71 65 127
*lab*rgb**$_{Ma}$: 0.5 1.0 0.0
*lab*olv**$_{Ma}$: 0.47 1.0 0.0

Dreiecks-Helligkeit i^*

Ein und Ausgabe: Farbmetrisches Drucker-Reflektiv-System ORS19_96a für relativen CIELAB-Buntton $h^* = lab^*h^* = h_{ab}/360 = 145/360 = 0.402$ $u^* = j75g$
Daten für jede Farbe: *lab*tch** und *lab*icu**
Elementar-Bunttontext: $u^* = j75g$
Kontrastreduzierungsfaktor: $c_R = 1.0$
Dreiecks-Helligkeit i^*

Daten für Maximalfarbe (Ma):
*LAB*LAB**$_{Ma}$: 62 −51 37
*LAB*LCH**$_{Ma}$: 62 64 145
*lab*rgb**$_{Ma}$: 0.25 1.0 0.0
*lab*olv**$_{Ma}$: 0.24 1.0 0.0

Dreiecks-Helligkeit i^*